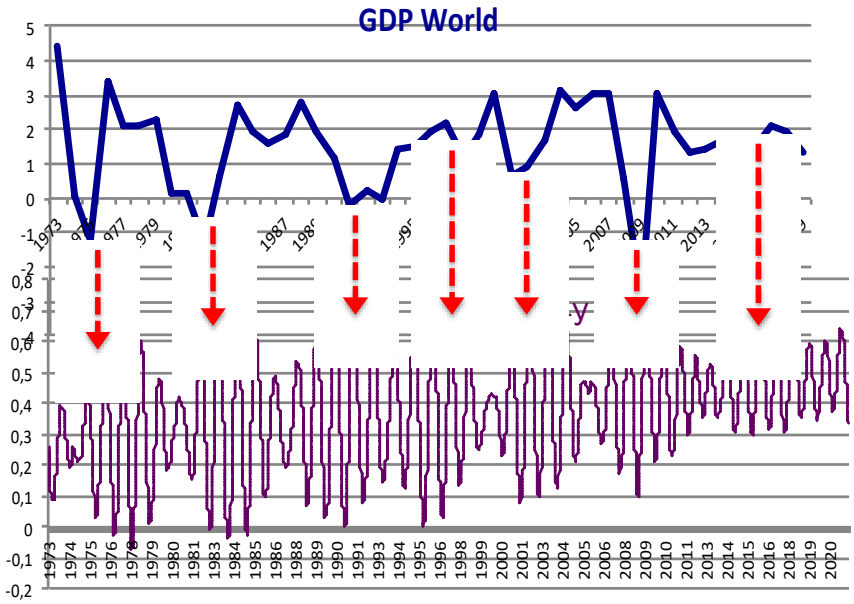
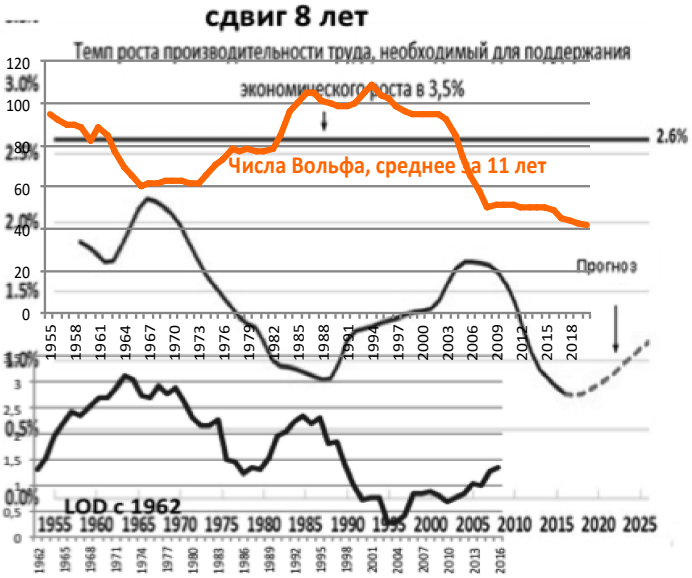
Мозг человека подл влиянием резонансов космических энергий: некоторые графики из книги

Среднегодовые темпы роста мирового ВВП и график суммарных ежедневных значений движения полюса Земли в координатах Pole_X и Pole_Y



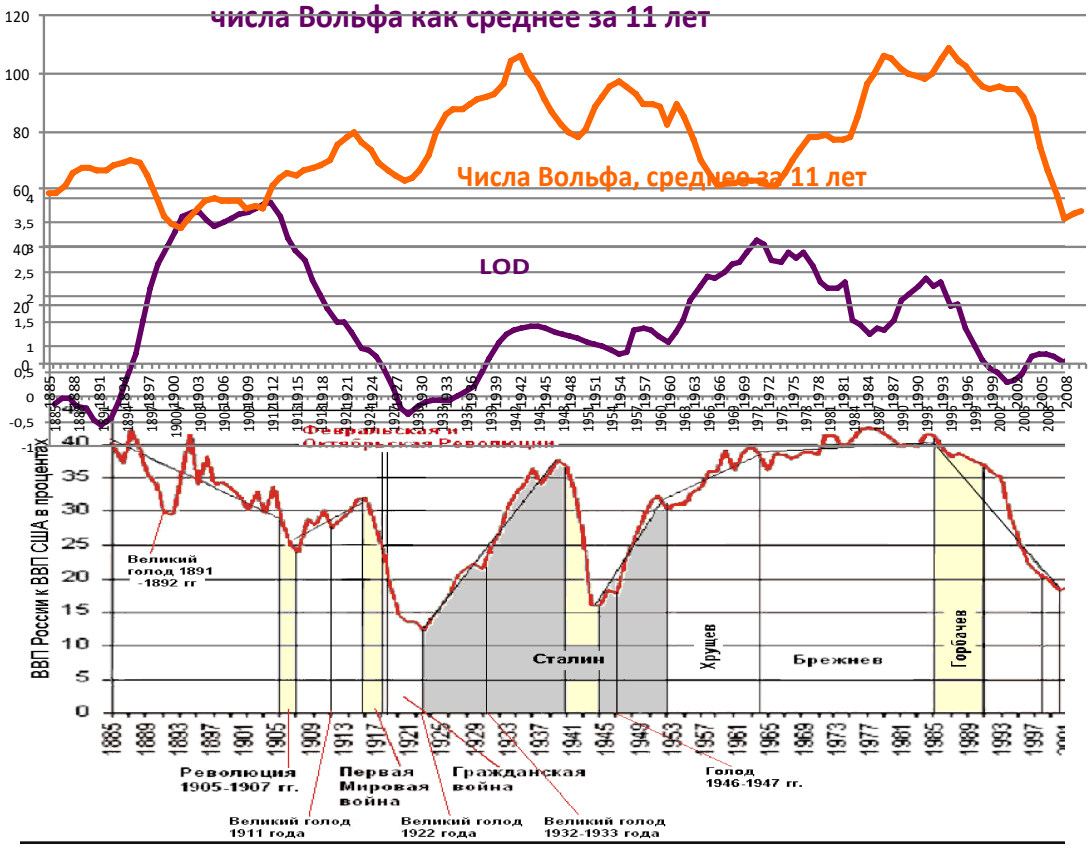
Рост производительности труда в США, LOD Земли и числа Вольфа, среднее за 11 лет

Темпы роста производительности труда в США и LOD Земли, сдвиг 8 лет

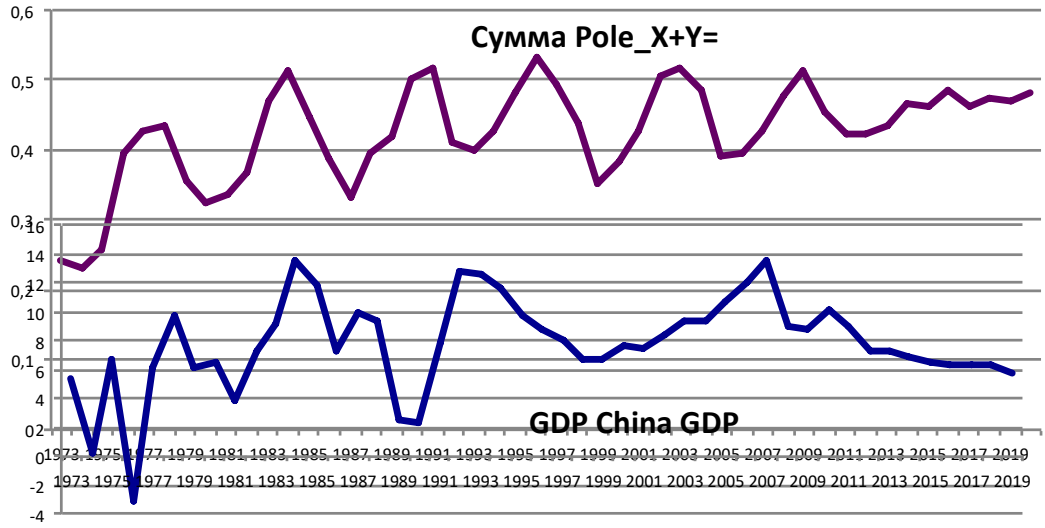


Committee for a Responsible Federal Budget. Getting Real About Paying For Trump's Tax Plan. Sep 16, 2026. – crfb.org/blogs/sustained-5-percent-annual-growth-possible.

ВВП России по отношению к ВВП США (по Илларионову А.), LOD Земли, числа Вольфа как среднее за 11 лет



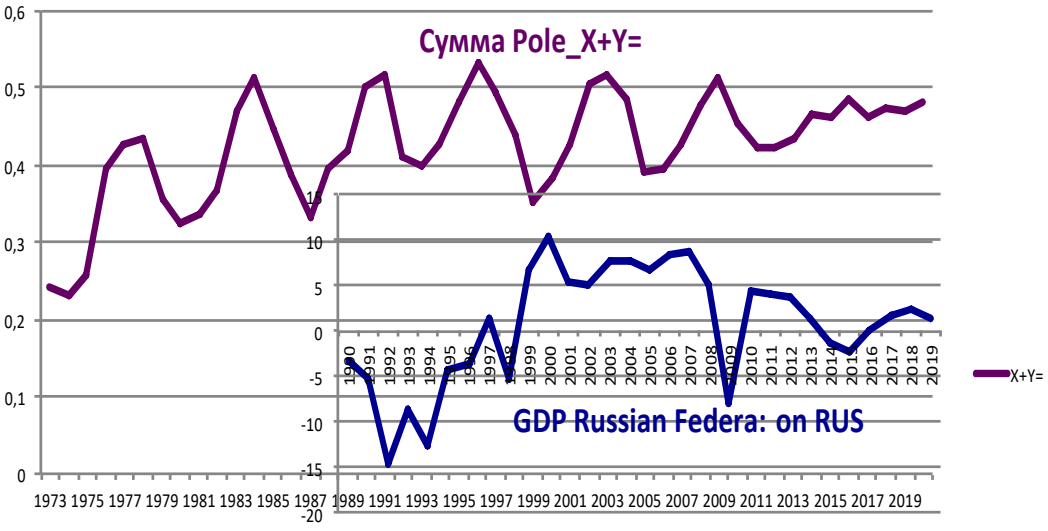
Движение полюса Земли в системе координат X и Y (Pole_X+Pole_Y) и темпы роста ВВП в Китае



RGDP/Pole_X+Y=0,297

R GDP/LOD = -0,296

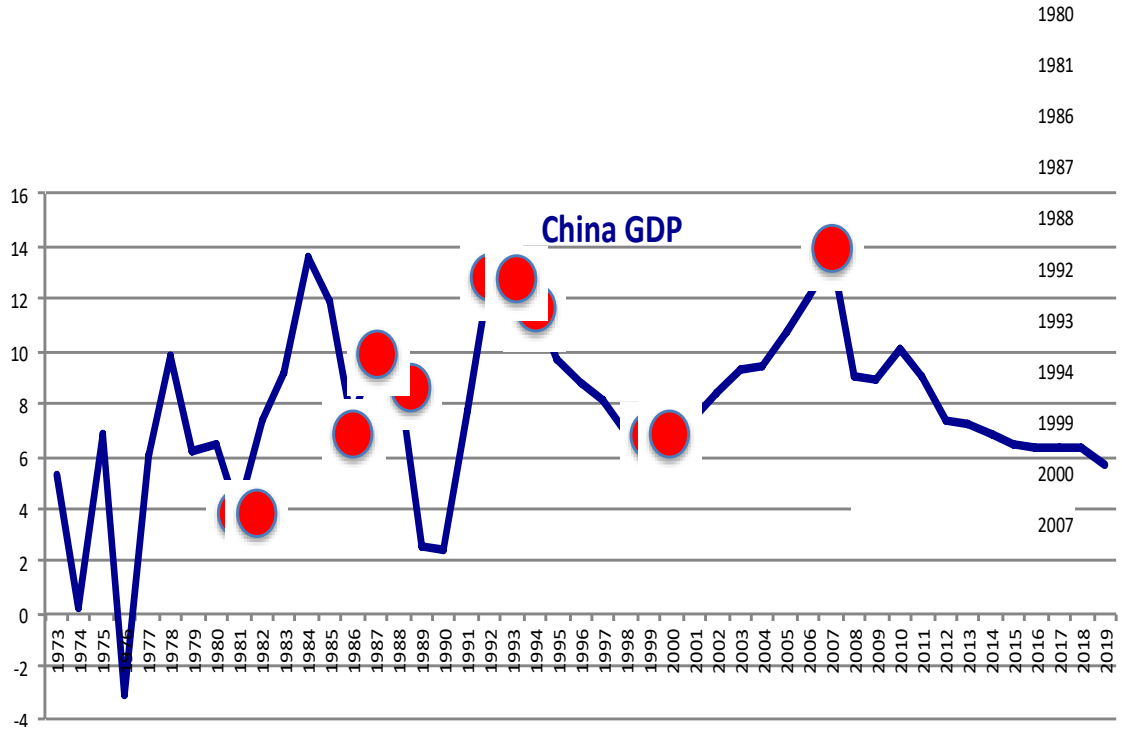
Движение полюса Земли в системе координат X и Y (Pole_X+Pole_Y) и темпы роста ВВП в России



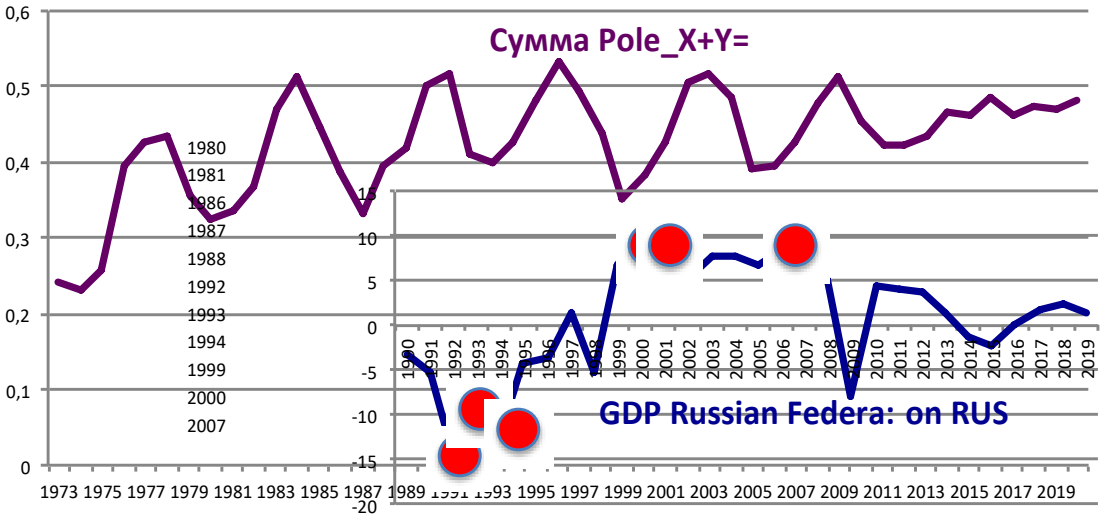
R GDP/Pole_X+Y = 0,22

R GDP/LOD = - 0,71

Темпы роста ВВП Китая и годы положительной корреляции между LOD и движением полюса Земли (Pole_X+Pole_Y)

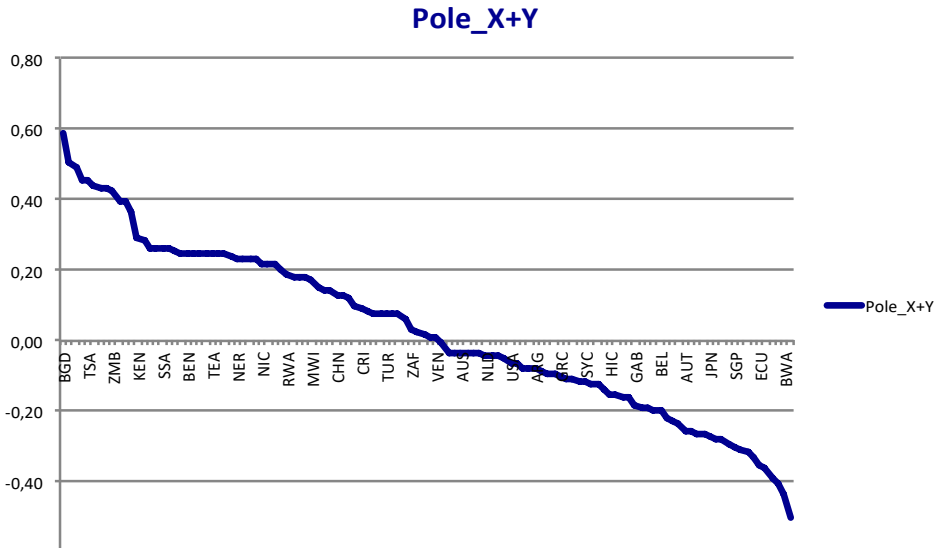


Движение полюса Земли в системе координат X и Y (Pole_X+Pole_Y) и темпы роста ВВП в России

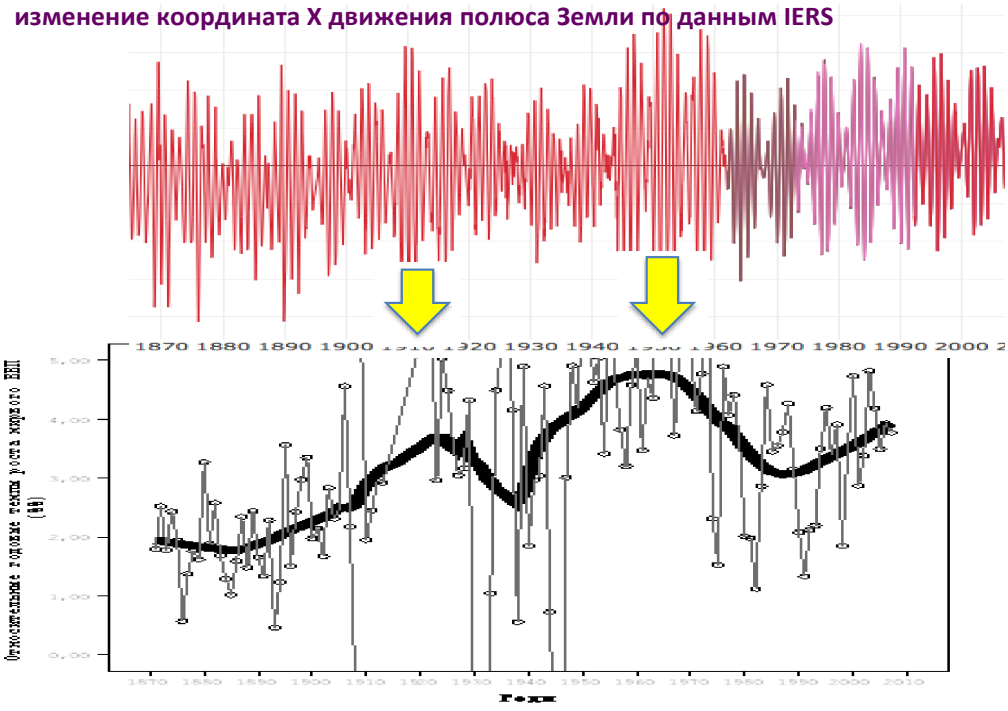


R GDP/Pole_X+Y = 0,22
R GDP/LOD = - 0,71

Ранжированные коэффициенты корреляции между темпами роста ВВП 116 стран мира в 1973-2019 годах и суммой координат движения полюса Земли Pole_X и Pole_Y



Темы роста мирового ВВП с устранением влияния I Мировой войны и изменение координата X движения полюса Земли по данным IERS



Maddison 1995, 2001, 2003, 2010.

Динамика народного благополучия, перепроизводства элит в США и чисел Вольфа, как среднее за 11 лет

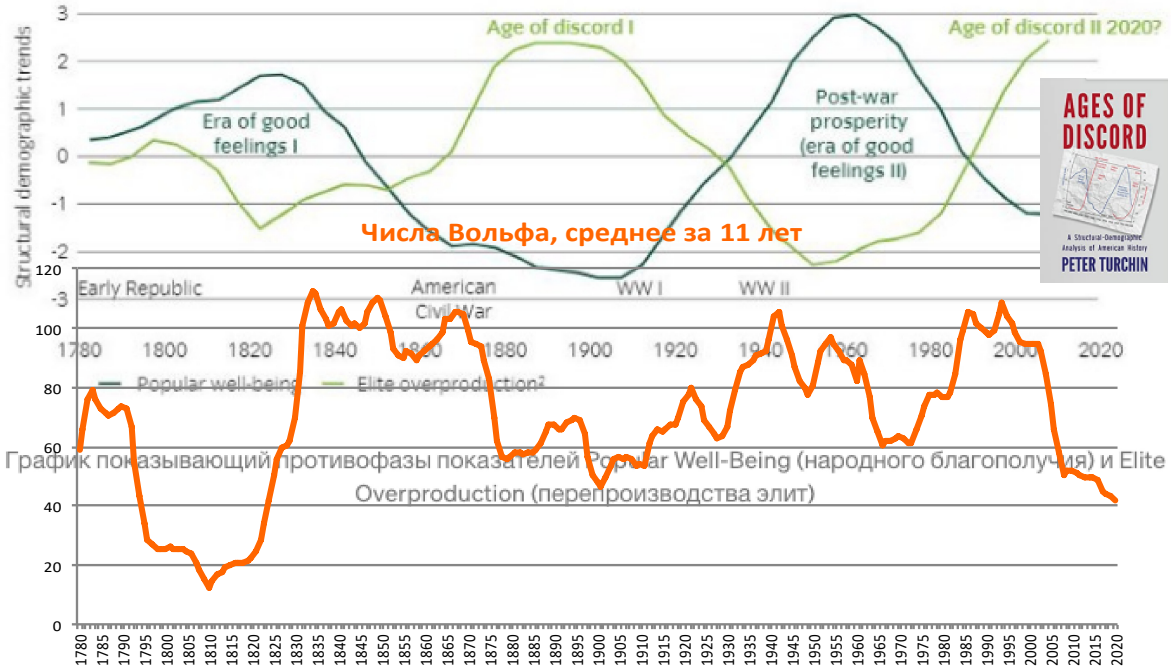
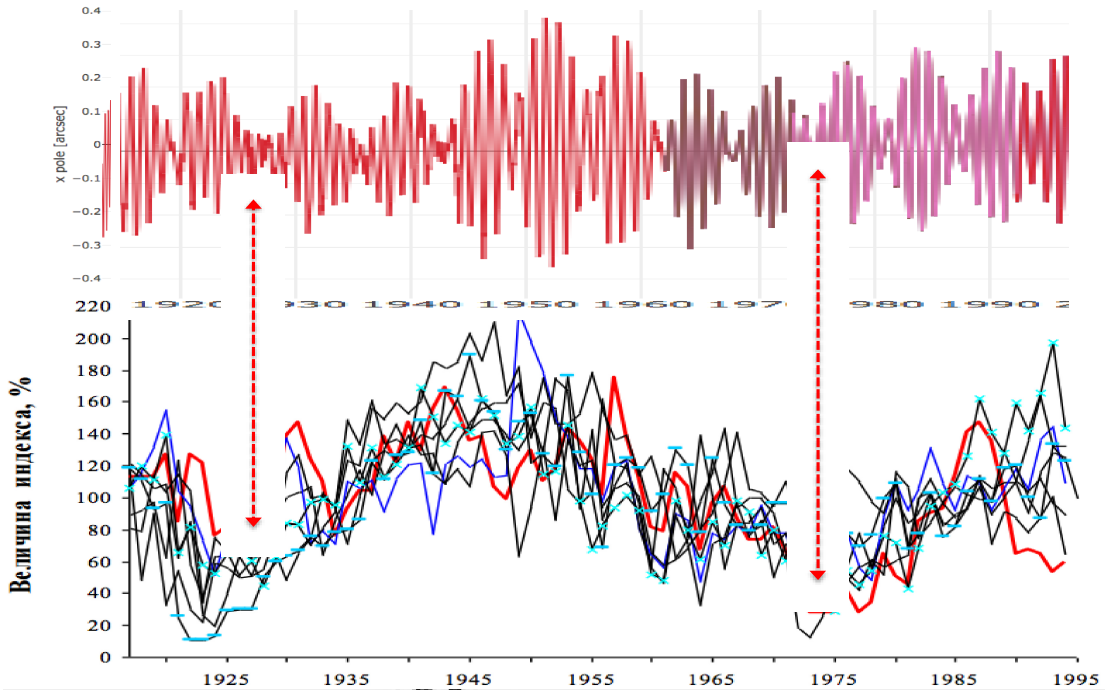
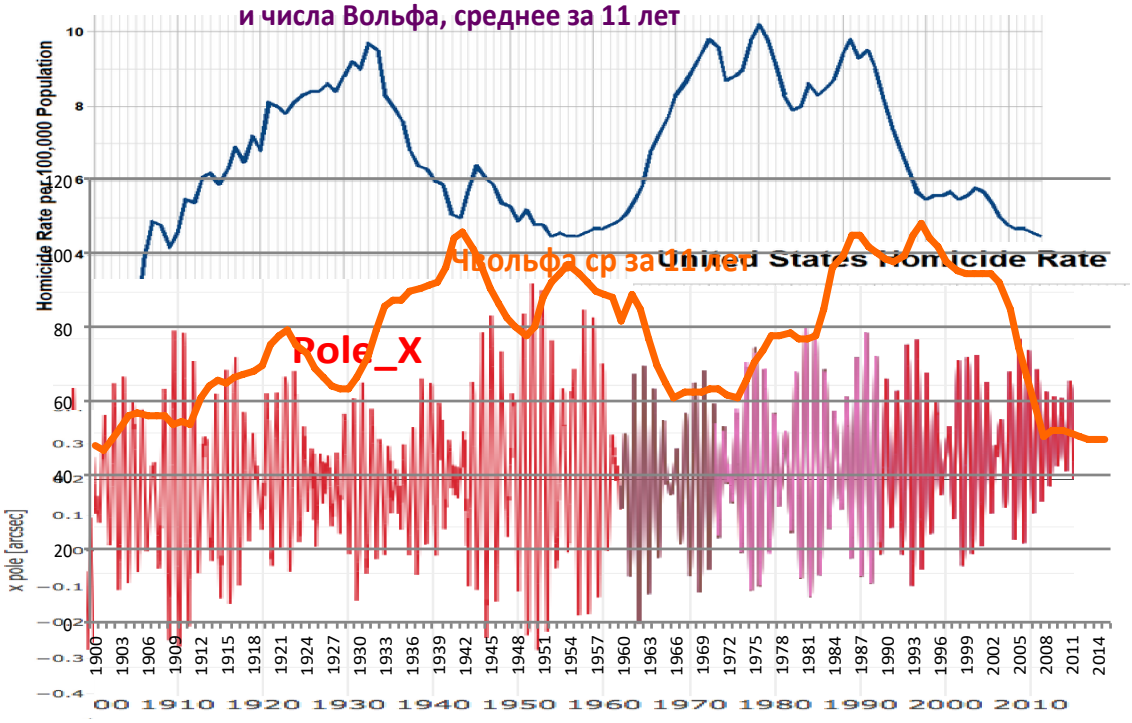


График показывающий противофазы показателей Popular Well-Being (народного благополучия) и Elite Overproduction (перепроизводства элит)

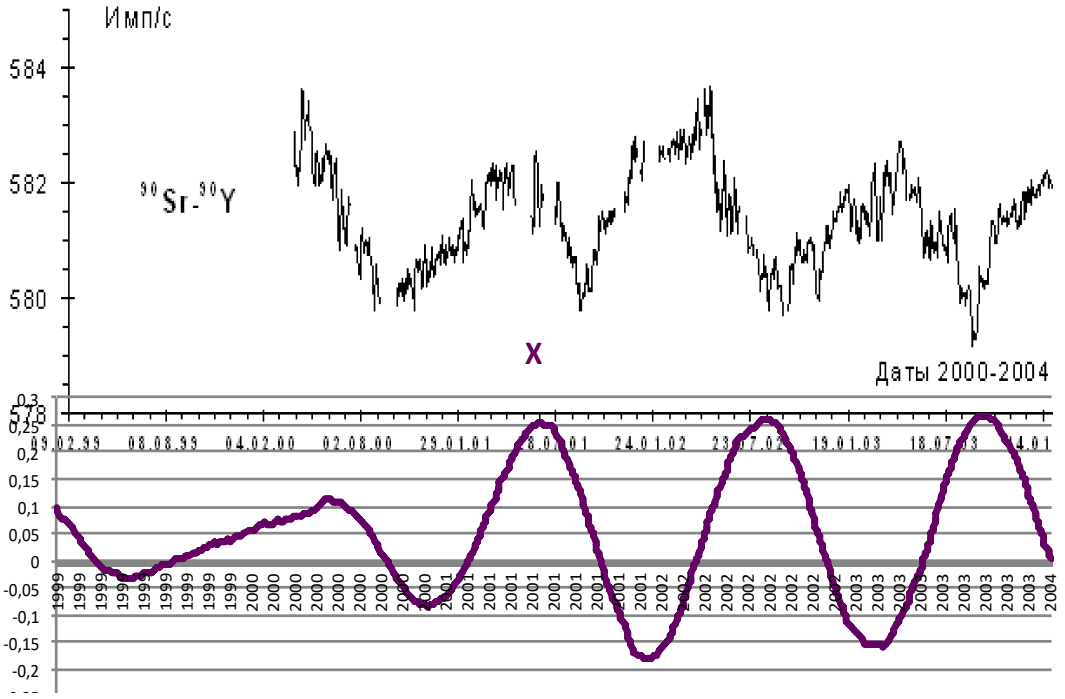
Прирост колец деревьев по Ю.П. Демакову и движение полюса Земли в координате X_Pole



Убийства в США на 100000 человек и движение полюса Земли в системе координат X и числа Вольфа, среднее за 11 лет



Движение полюса Земли по оси X (данные за каждый день) и распад изотопов (имп/сек)



Отклонение полюса Земли по оси X и Y и число убитых в терактах в России



Данные взяты из GTD -
h; p://www.start.umd.edu/gtd/contact/

Отклонение полюса Земли по оси X и Y в 2014 году по месяцам и число убитых в терактах в России

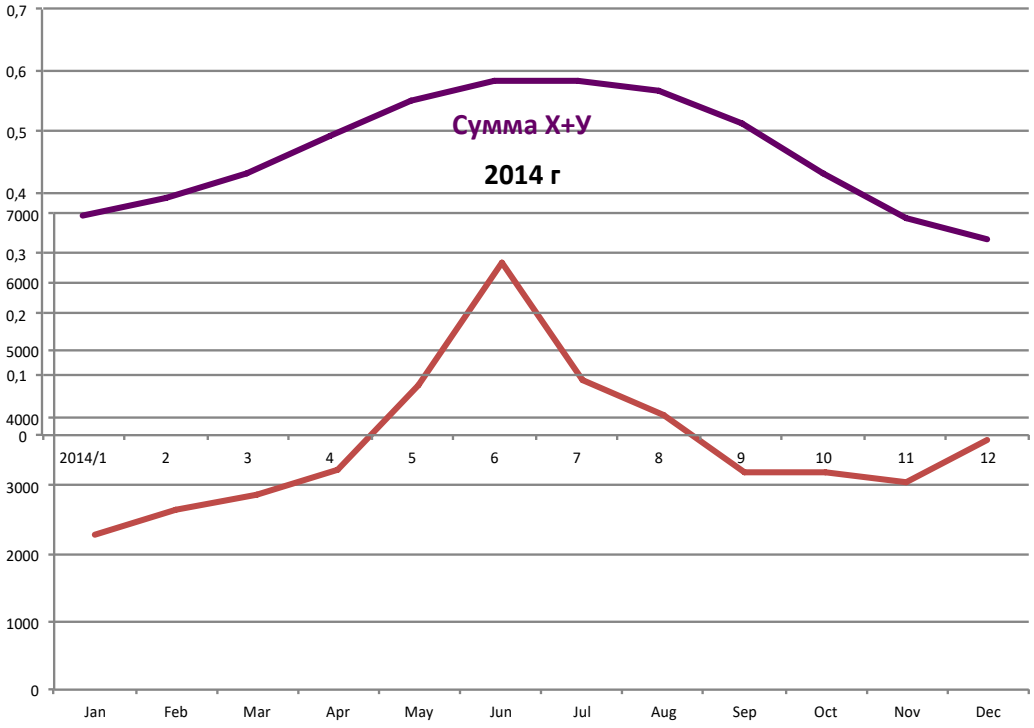
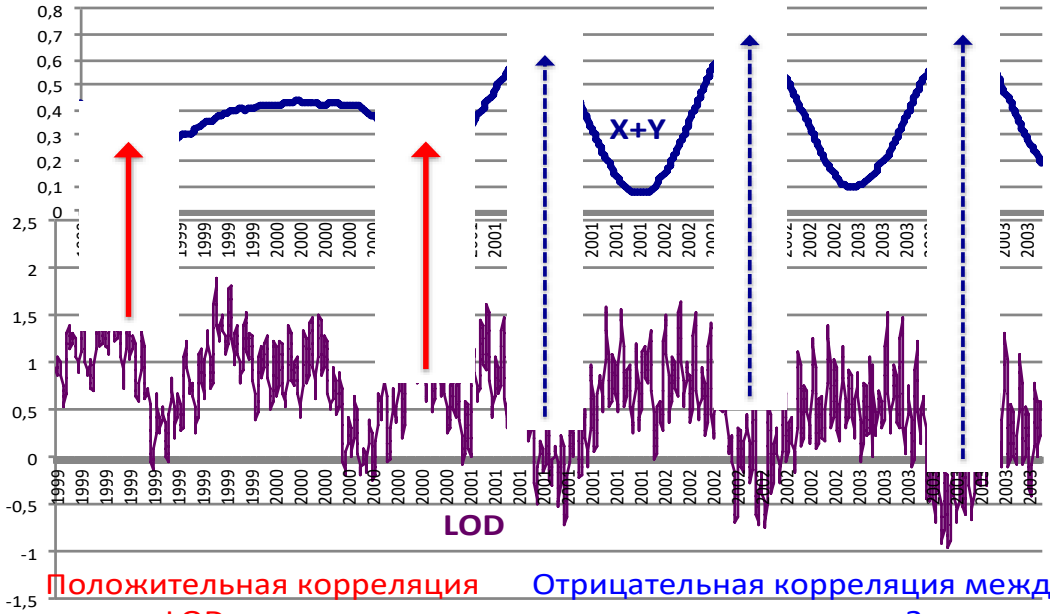


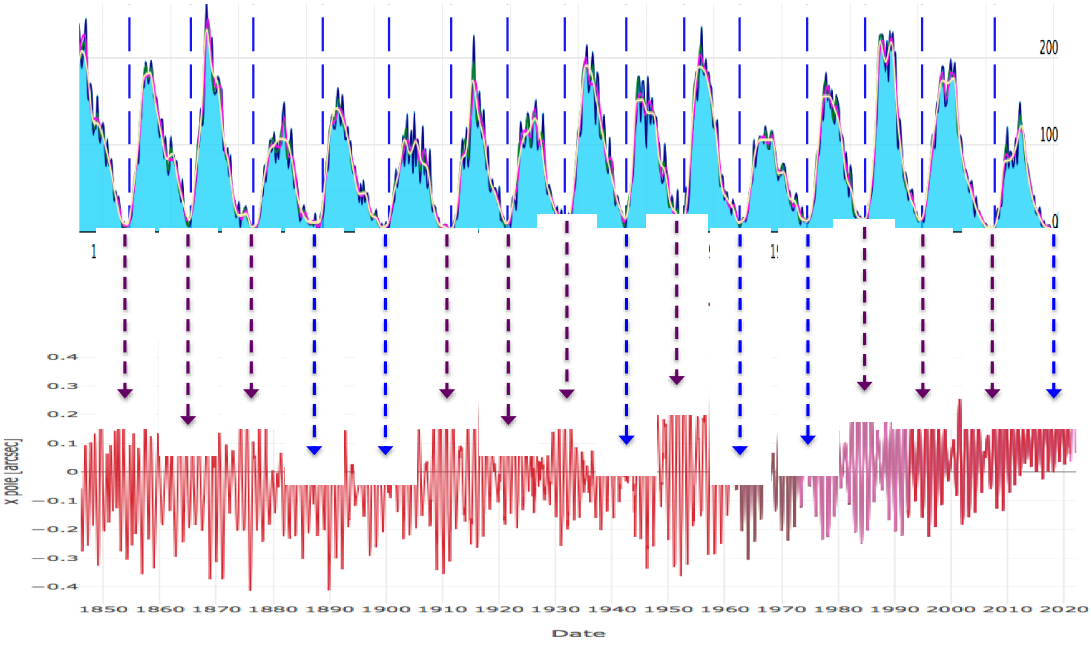
График движения полюса Земли по X и Y координатам и LOD Земли (данные по каждому дню с 1999 по 2003 годы)



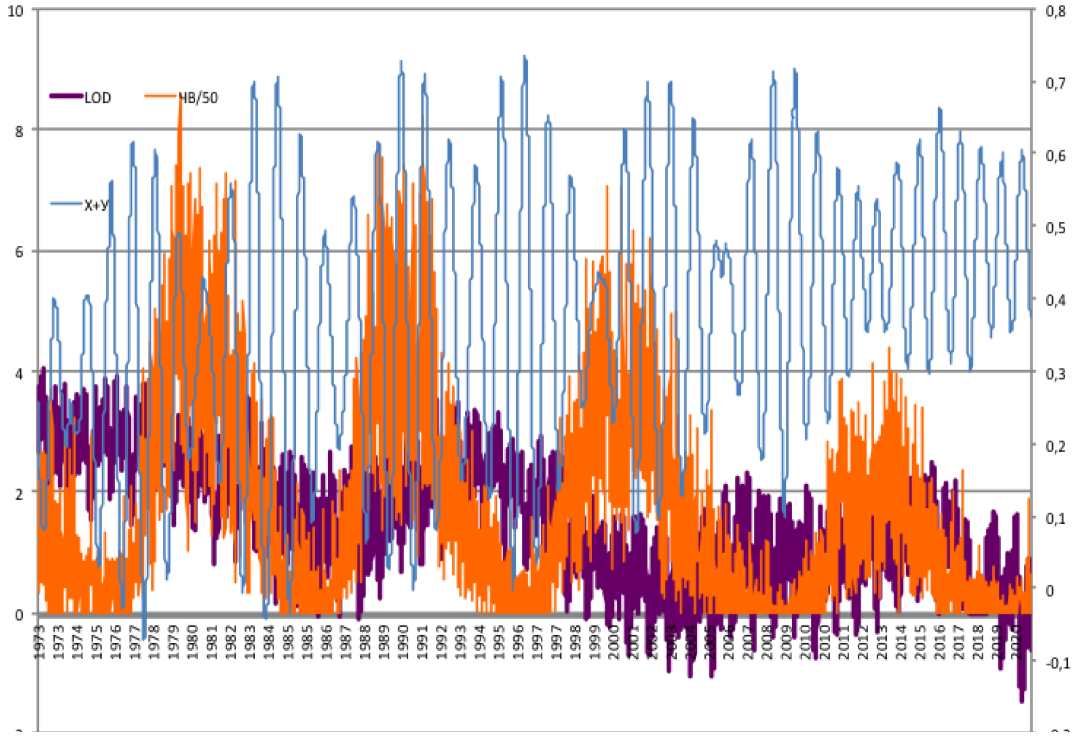
Положительная корреляция между LOD и координатами полюсов Земли

Отрицательная корреляция между LOD и координатами полюсов Земли

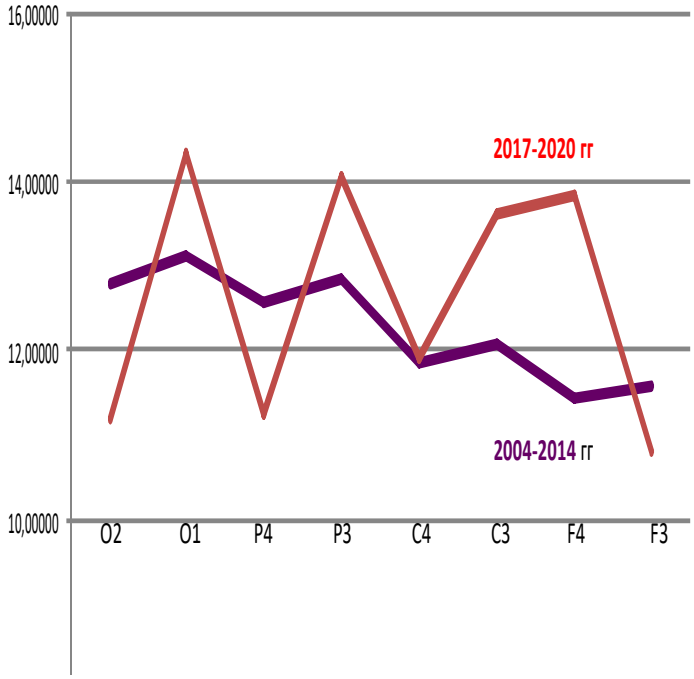
Числа Вольфа и движение полюса Земли в координате Pole_x



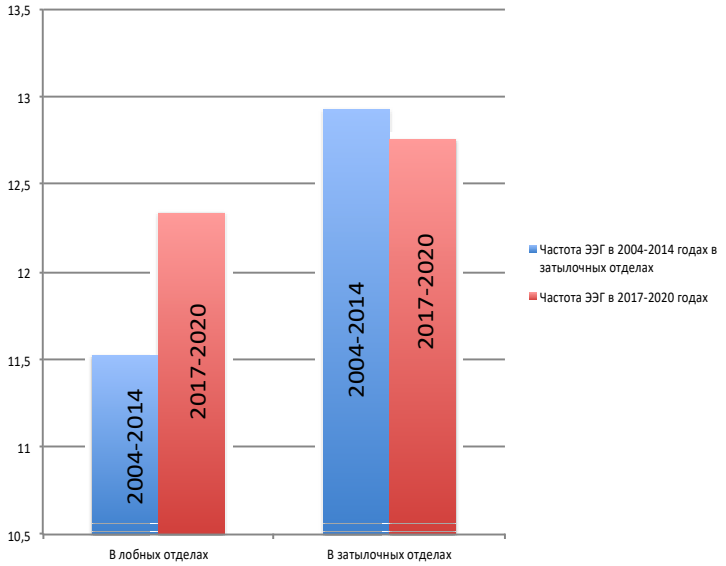
Движение полюса в координатах Pole_X+Y, LOD Земли и числа Вольфа/50 за каждый день с 1973 по 2020 годы



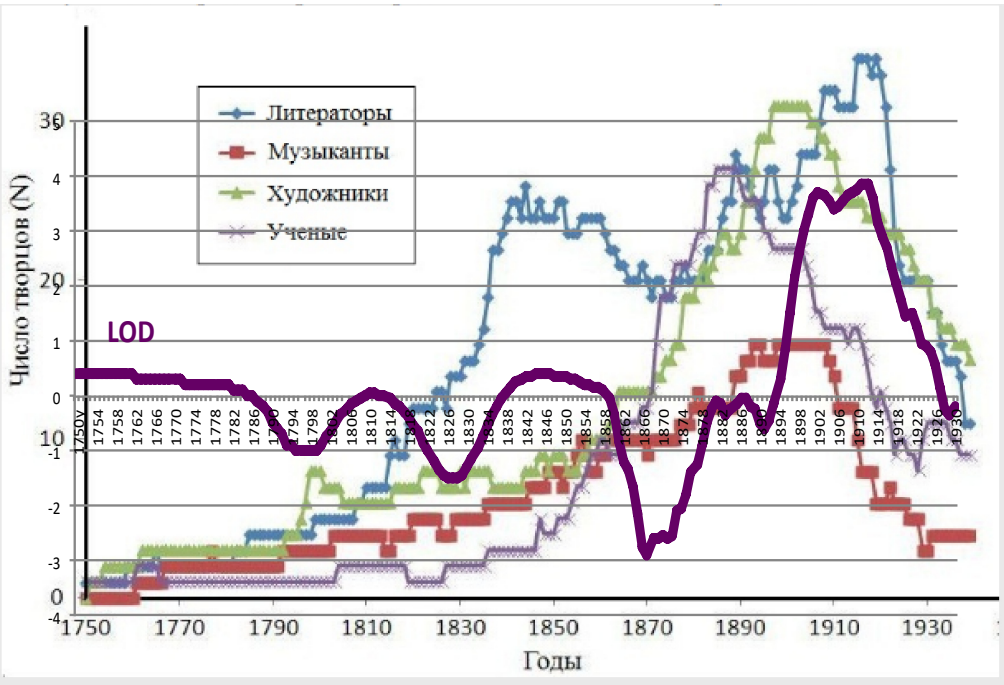
Частота ЭЭГ в 2004-14 и 2017-2020 годах, по 1 тыс человек



Среднее значение частоты ЭЭГ в лобных (точки F_3, F_4) и затылочных (точки O_1, O_2) участках головного мозга в 2004-2014 и 2017-2020 годах (по 1 тыс человек)



Распределение по годам числа творцов в России по А.С. Холманскому и LOD Земли



Изменение доли визуального искусства в европейской культуре по Плущевскому А.М. и уровень Каспийского моря - маркера скорость вращения Земли

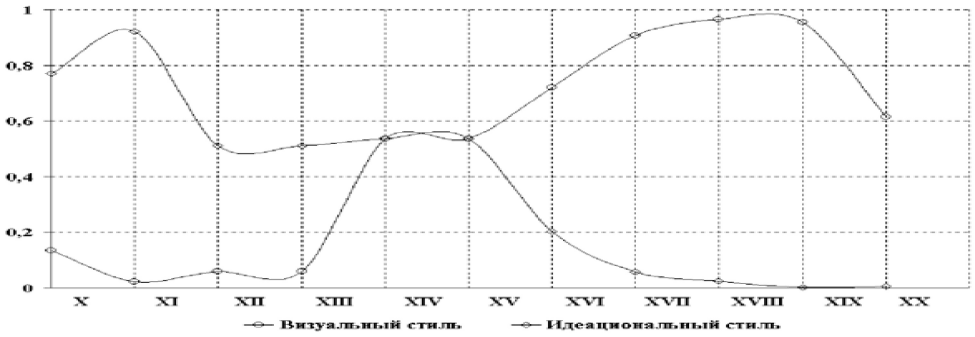
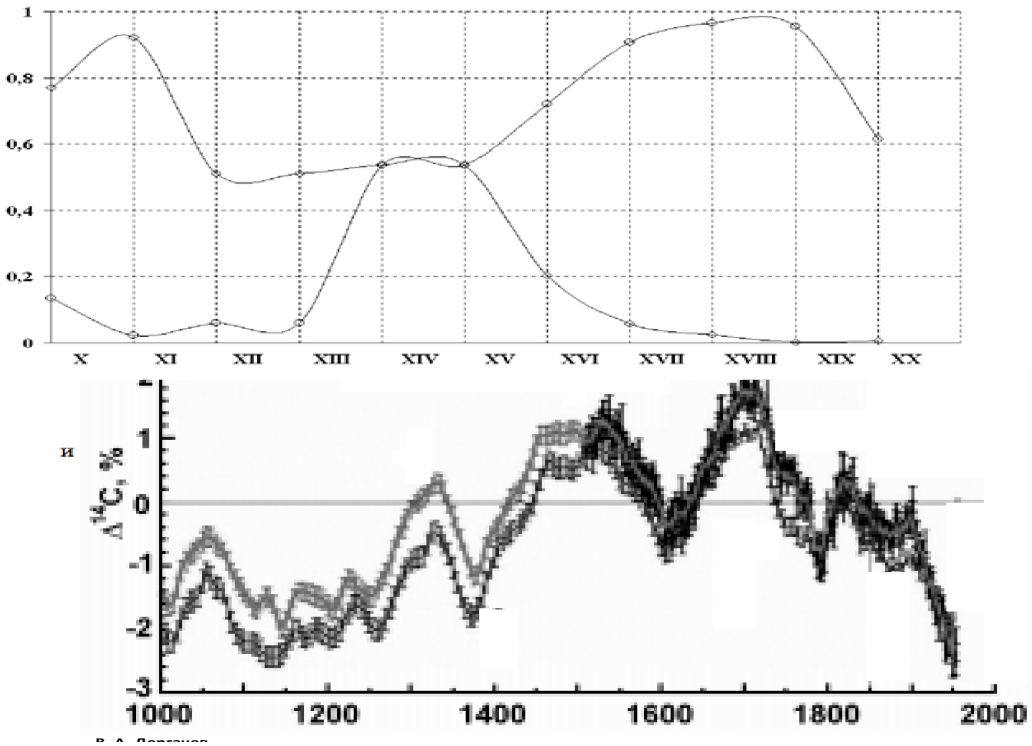


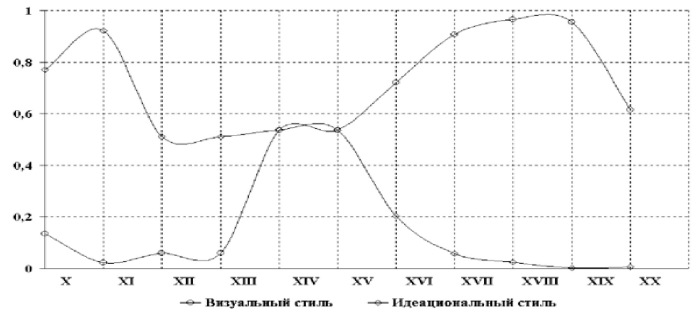
Рис. 16 Изменение долей произведений искусства идеационального и визуального стилей в европейской культуре за период с X по XX век.



Изменение доли визуального искусства в европейской культуре по Плущевскому А.М. и концентрация изотопов углерода в кольцах деревьев северного и южного полушарий



Изменение доли визуального искусства в европейской культуре по Плущевскому А.М. и содержание изотопов кислорода 18 в кернах льда, прирост колец деревьев



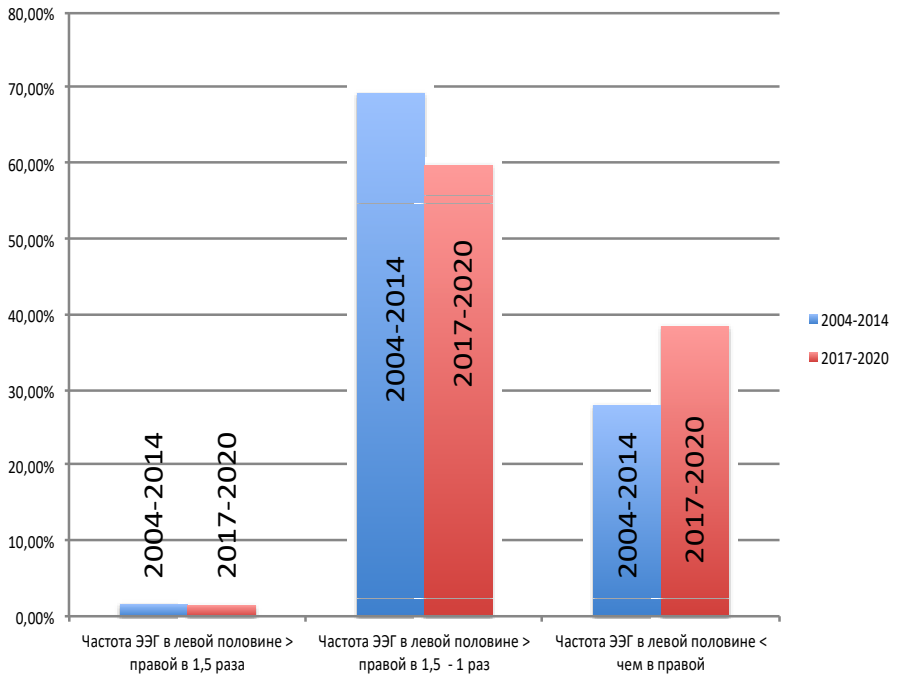
Прирост деревьев субарктики Евразии и содержание изотопов кислорода 18 в ледовом керне GISP2 по Stuiver et al., 1995



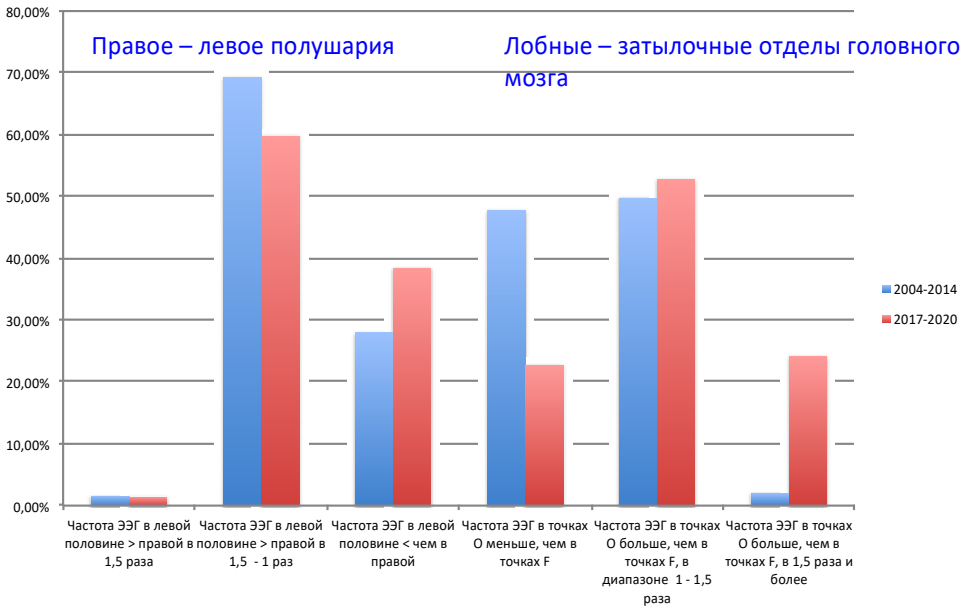
Наурзбаев М.М.

h¨ p://www.socintegrum.ru/Plushch.html

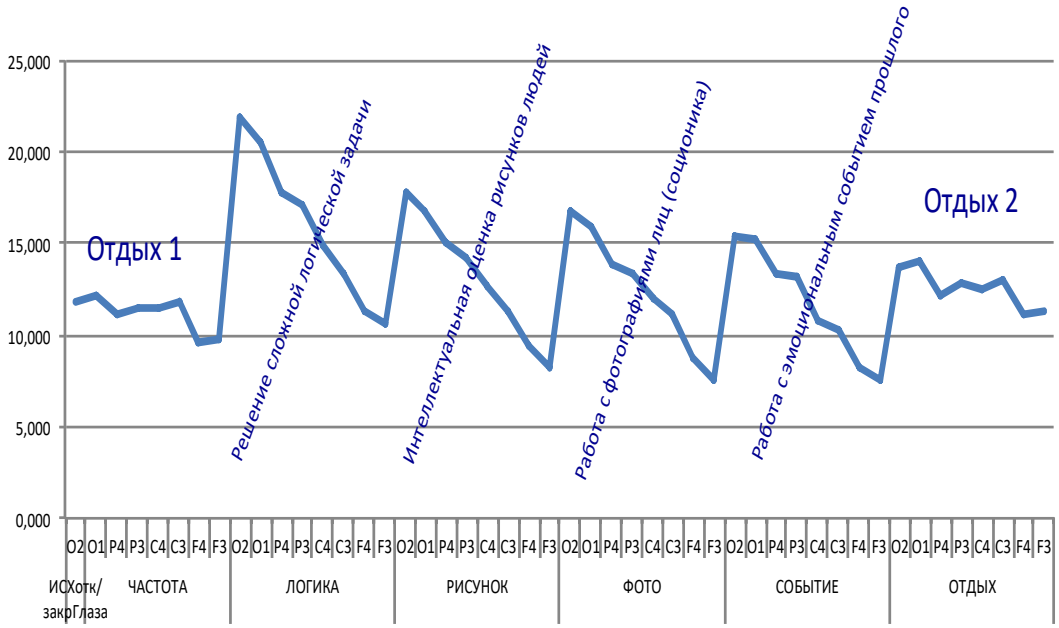
Изменение соотношения частот левом и правом полушарий головного мозга в 2004-14 и 2017-2020 годах в период отдыха с закрытыми глазами, по 1 тысячи человек однотипных выборок



Изменение частот ЭЭГ (в процентах) в правом и левом полушарий, передних и задних отделов головного мозга при разных космических энергиях в десятилетних циклах



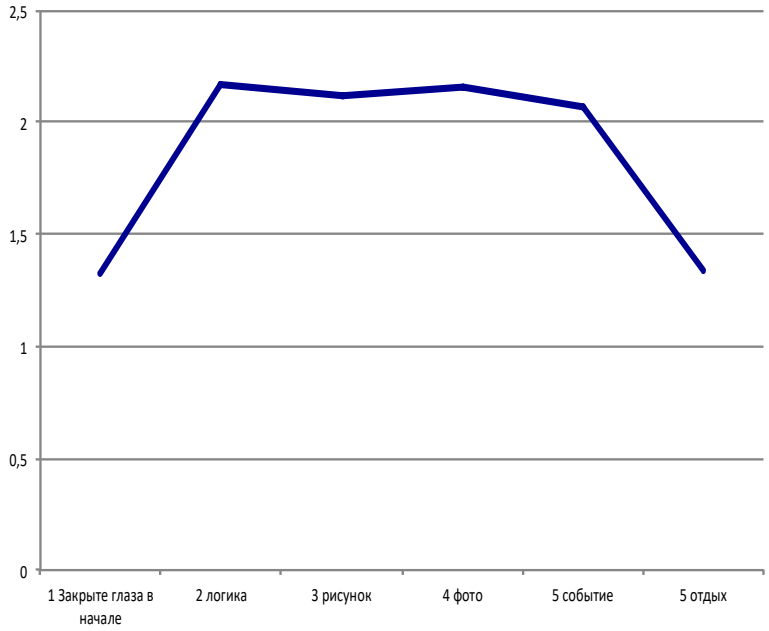
Частота ЭЭГ в точках ее съема в работе головного мозга при решении обследуемыми различных задач в 2017 – 2020 годах



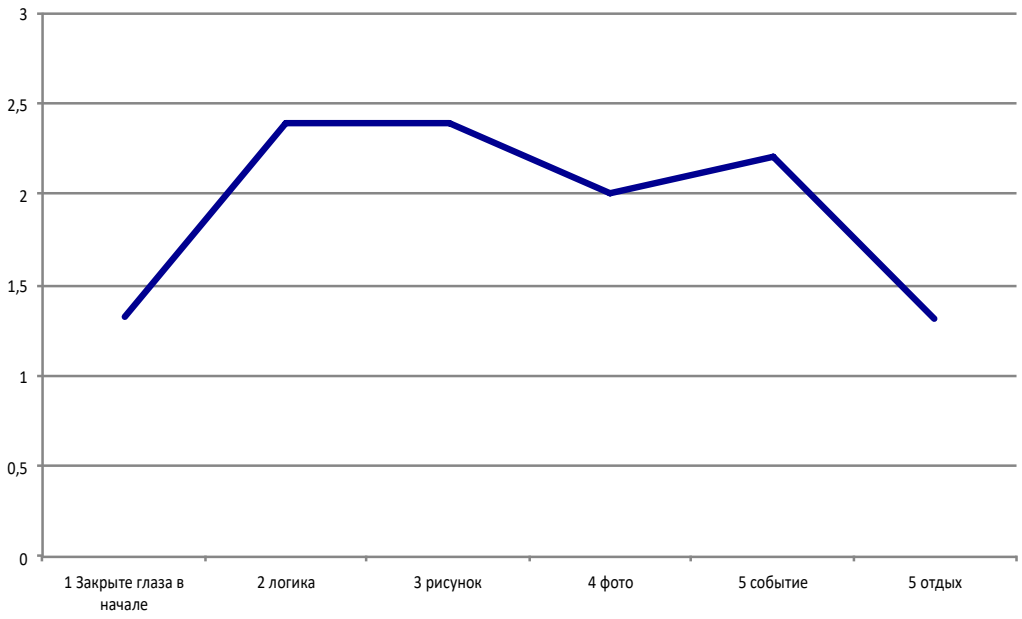
Процент изменения частоты ЭЭГ в точке 1/1 по отношению к точке 5/5



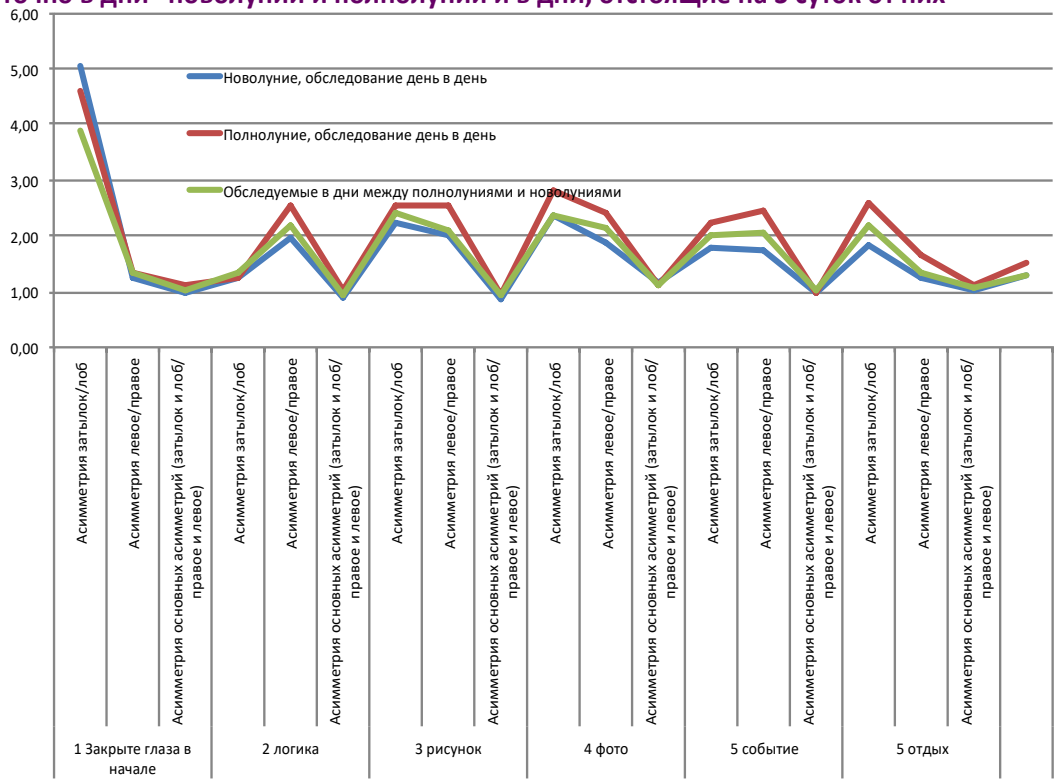
Индексы асимметрии затылок/лоб (частота ЭЭГ в затылочных отделах, деленная на частоту ЭЭГ в лобных отделах) при выполнении испытуемыми разных заданий 2017-2020 года



Индексы асимметрии асимметрий (индекс асимметрии затылок-лоб, деленный на индекс правое/левое полушарии) при выполнении испытуемыми разных заданий 2017-2020 года



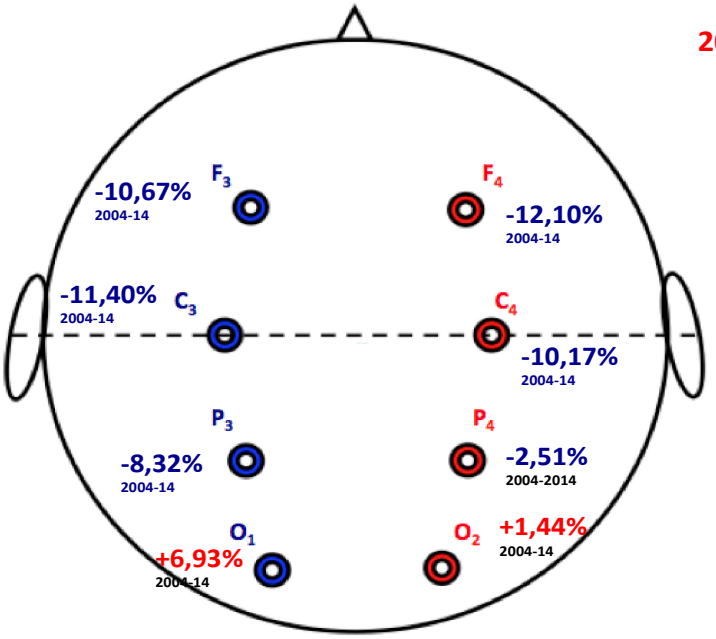
Основные индексы асимметрии работы головного мозга при выполнении заданий точно в дни новолуний и полнолуний и в дни, отстоящие на 3 суток от них



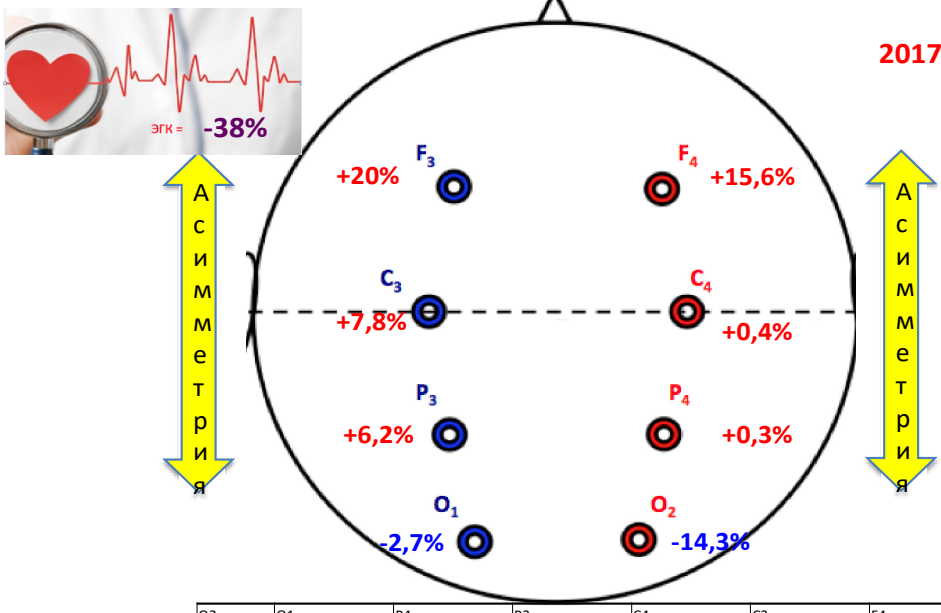
Основные индексы асимметрии работы головного мозга при выполнении разных заданий в новолуние и высокой-низкой скорости вращения Земли (LOD = 1 и 5)



Изменение соотношения частот ЭЭГ мозга (расход психической энергии) при минимальной/ максимальной в данном цикле скорости вращения Земли и соответствующего значения положения оси ее вращения (Pole X+Y) в момент отдыха с закрытыми глазами (1002 человека в 2004-14 годах)

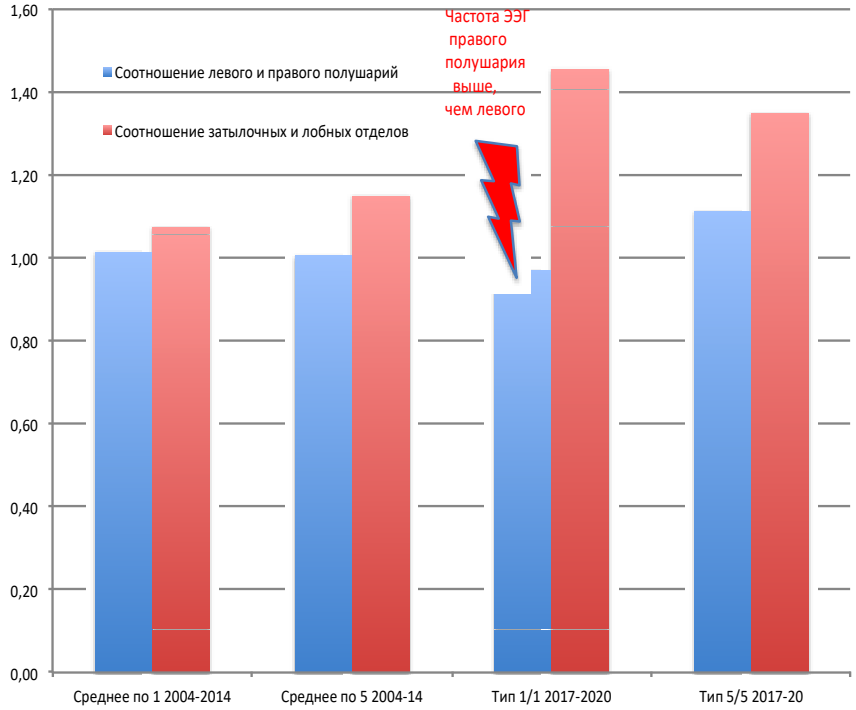


Изменение соотношения частот ЭЭГ мозга (расход психической энергии) при минимальной/ максимальной в данном цикле скорости вращения Земли и соответствующего значения положения оси ее вращения (Pole X+Y) в момент отдыха с закрытыми глазами

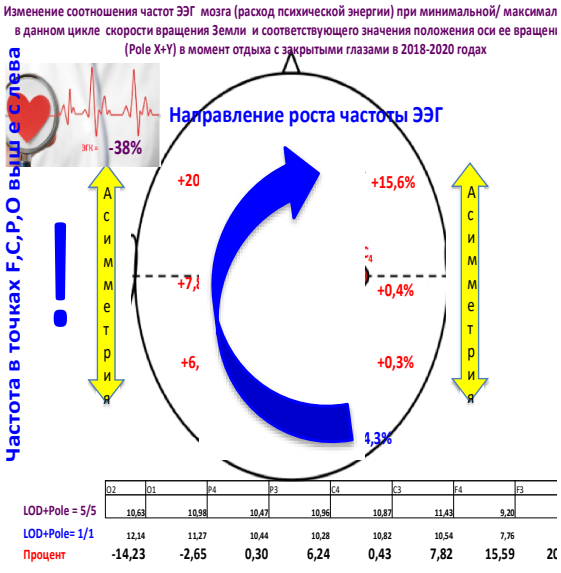


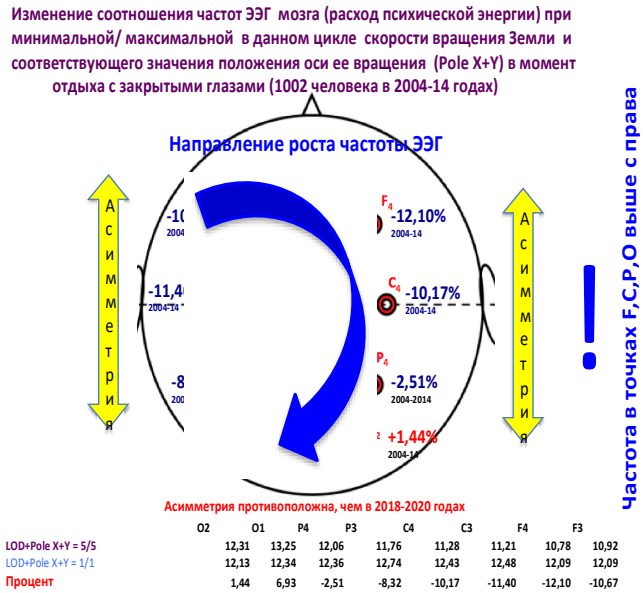
	O2	O1	P4	P3	C4	C3	F4	F3
LOD+Pole = 5/5	10,63	10,98	10,47	10,96	10,87	11,43	9,20	9,21
LOD+Pole= 1/1	12,14	11,27	10,44	10,28	10,82	10,54	7,76	7,37
Процент	-14,23	-2,65	0,30	6,24	0,43	7,82	15,59	20,00

Соотношение частот ЭЭГ в правом и левом полушариях, лобных и затылочных отделах головного мозга в 2004-14 и 2017-20 годах в точках 1/1 и 5/5 орбиты Земли (ЭЭГ снималось при отдыхе с закрытыми глазами обследуемых)

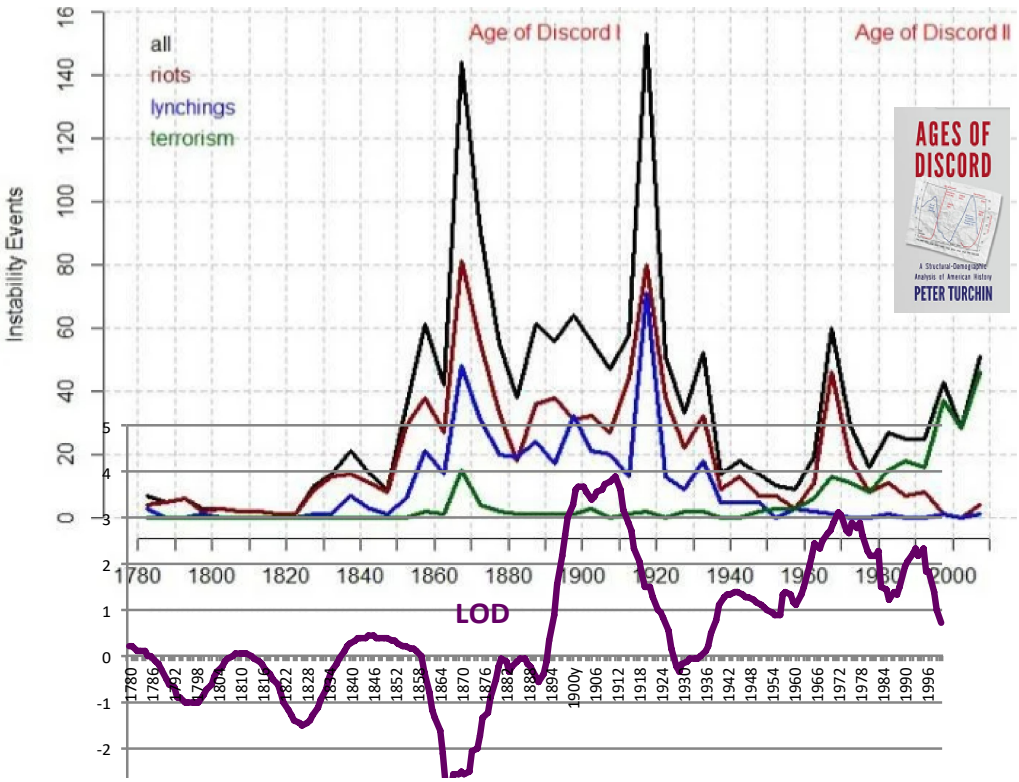


В 2004-2014 и 2017-2020 годах имеет на тысячах обследуемых диаметрально противоположные значения индексов асимметрии в работе головного мозга

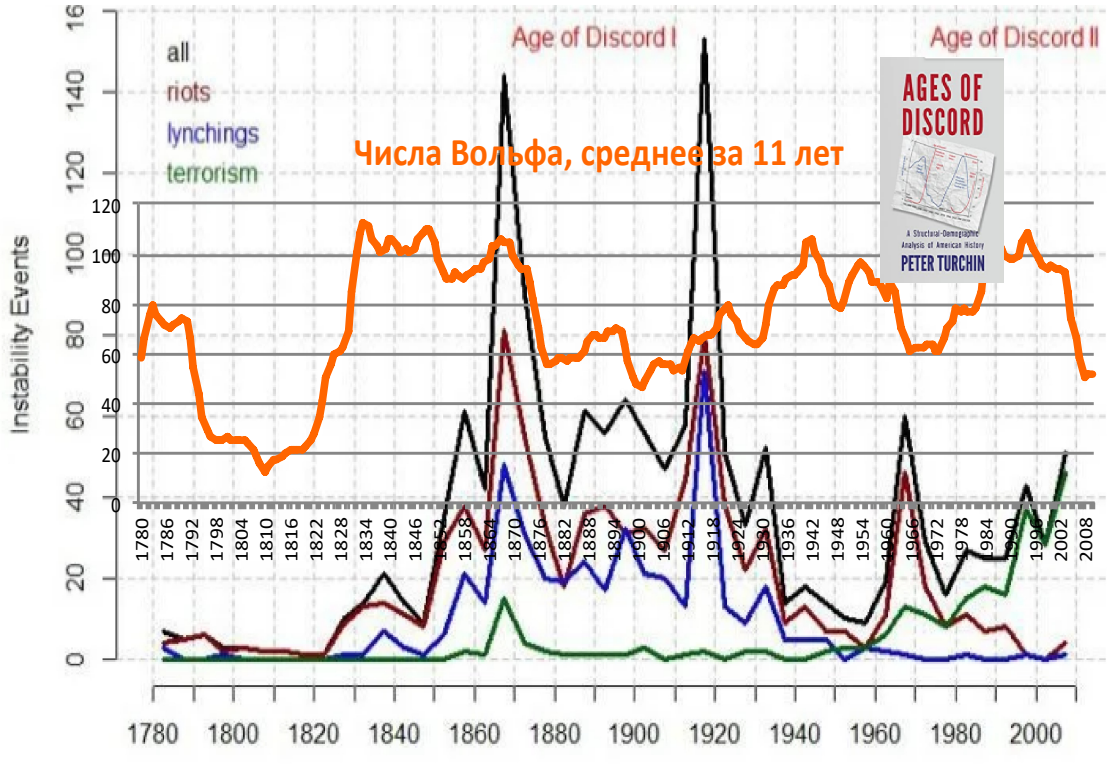




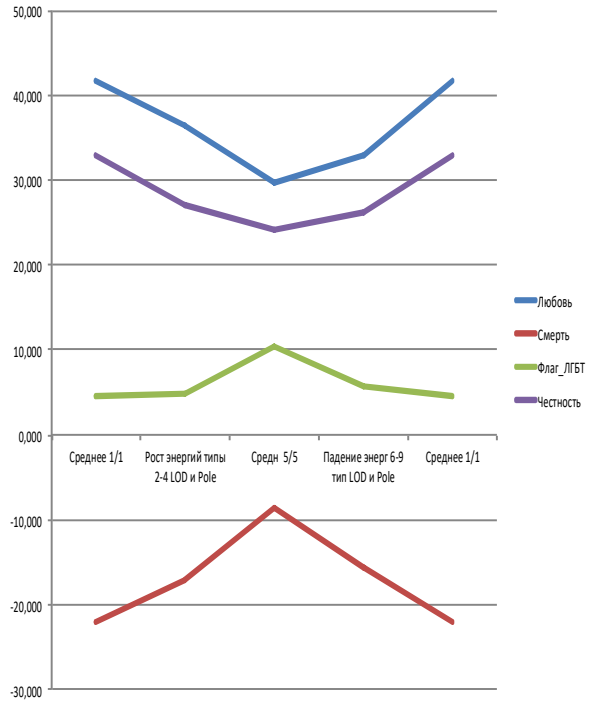
Уровень насилия в США с 1780 по 2000 годы и LOD Земли



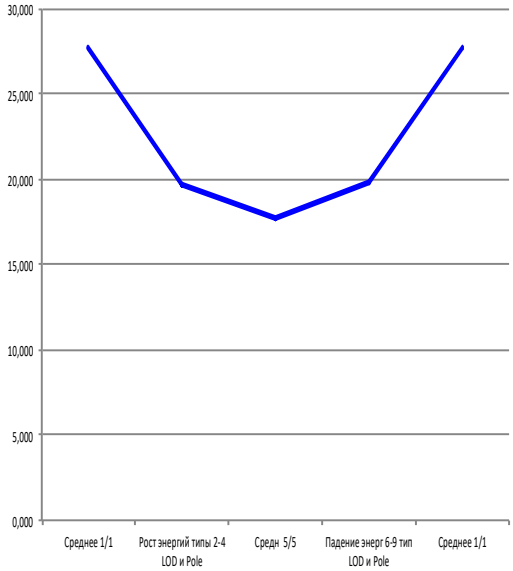
Уровень насилия в США с 1780 по 2000 годы и числа Вольфа



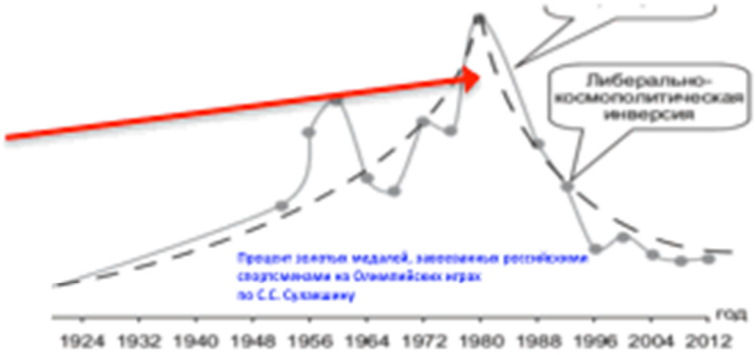
Восприятие обследуемыми при разных космических энергиях ценностей сексуальных меньшинств, честности, любви

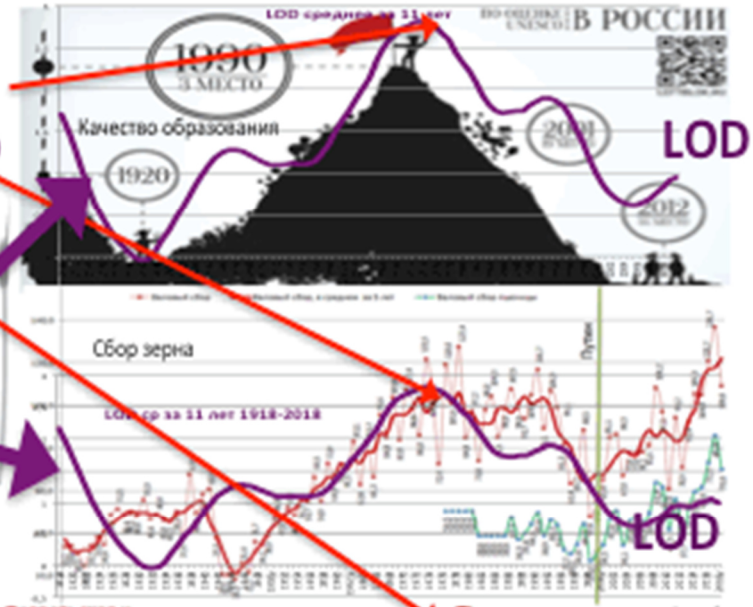


Потребность во власти у людей при разных космических энергиях по данным семантического дифференциала 678 человек, это госслужащие высокого уровня



Процент олимпийских медалей спортсменов, успехи школьников в международных олимпиадах, сбор зерновых, темпы роста ВВП России относительно США и LOD Земли

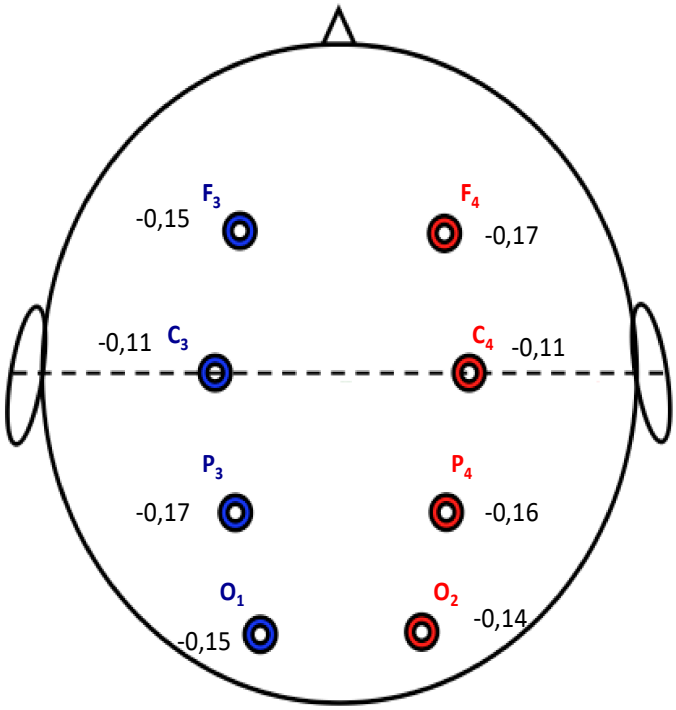






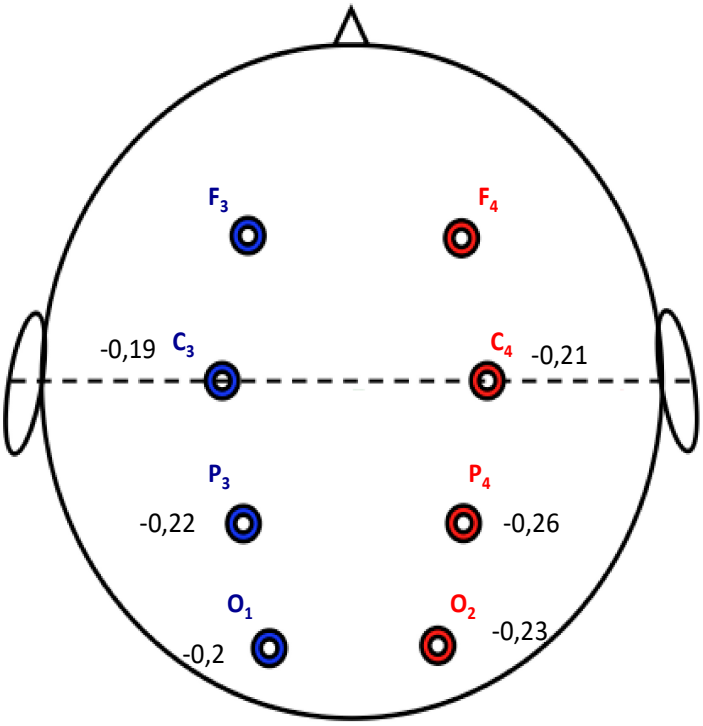
Максимальные значения коэффициентов корреляции между частотой ЭЭГ и значением маркеров космических энергий в этот день

Отдых 1, корреляция с 10(XY)+ЧВ/50)



Максимальные значения коэффициентов корреляции между частотой ЭЭГ и значением маркеров космических энергий в этот день

Фотографии лиц, корреляция с LOD+ЧВ/50)



Рост производительности труда в США, LOD Земли и числа Вольфа, среднее за 11 лет



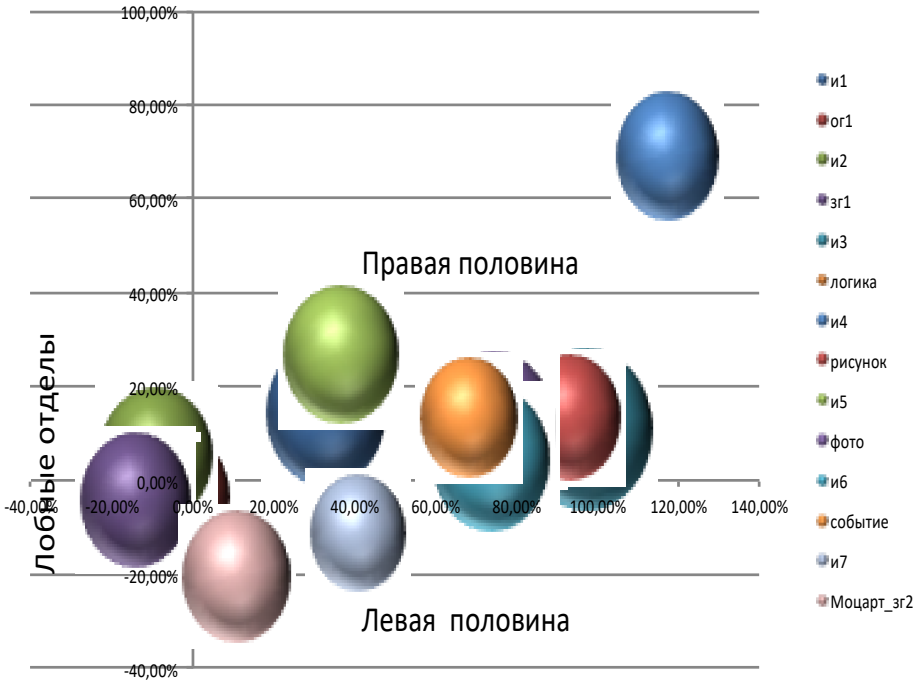
Committee for a Responsible Federal Budget. Getting Real About Paying For Trump's Tax Plan. Sep 16, 2026. – crfb.org/blogs/sustained-5-percent-annual-growth-possible.



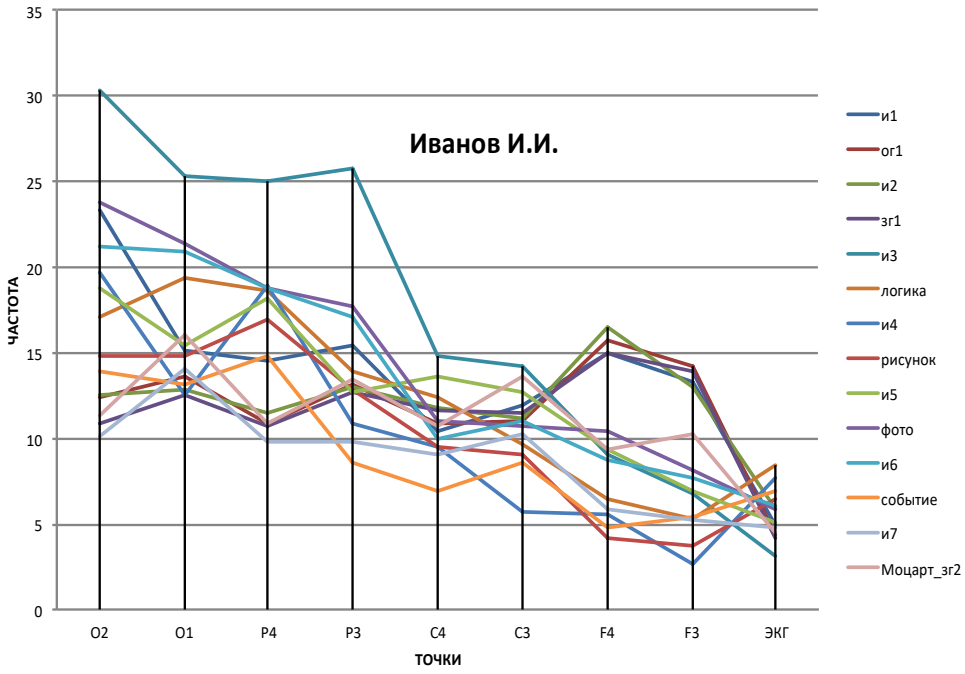
Период резкого падения скорости вращения Земли (1912-1927 гг), аналогичный как в 2017-2020 годах, число Вольфа - среднее за 11 лет



Очаги активности головного мозга Иванова И.И. при выполнении разных заданий, при прослушивании инструкции и частота работы головного мозга при этом



Частота ЭЭГ Иванова И.И. в точках съема при выполнении разных заданий и прослушивании инструкций



LOD Земли и запросы в Яндекс «протесты в Белоруссии» в июле – августе 2020 года



Число запросов в Яндекс "протесты в Белоруссии"

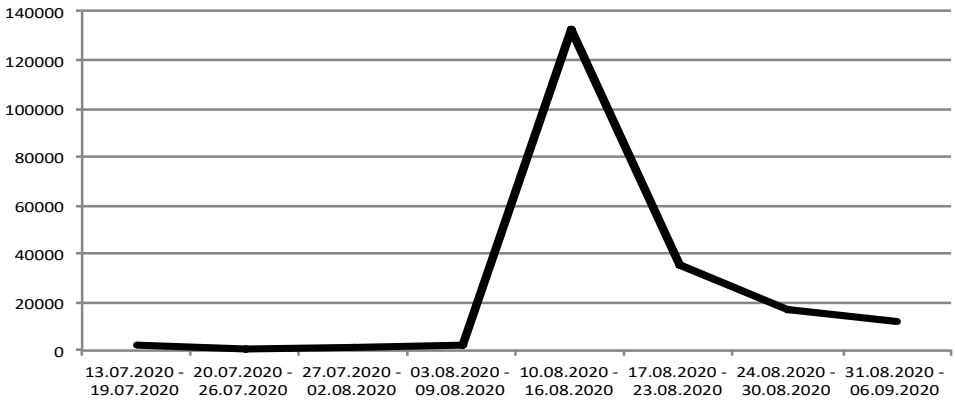
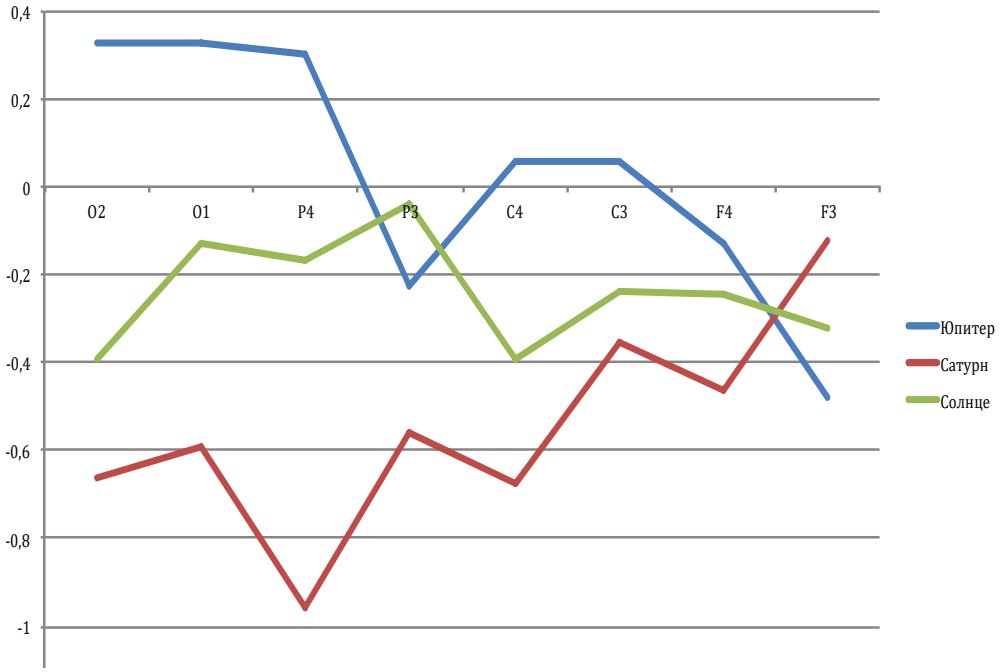
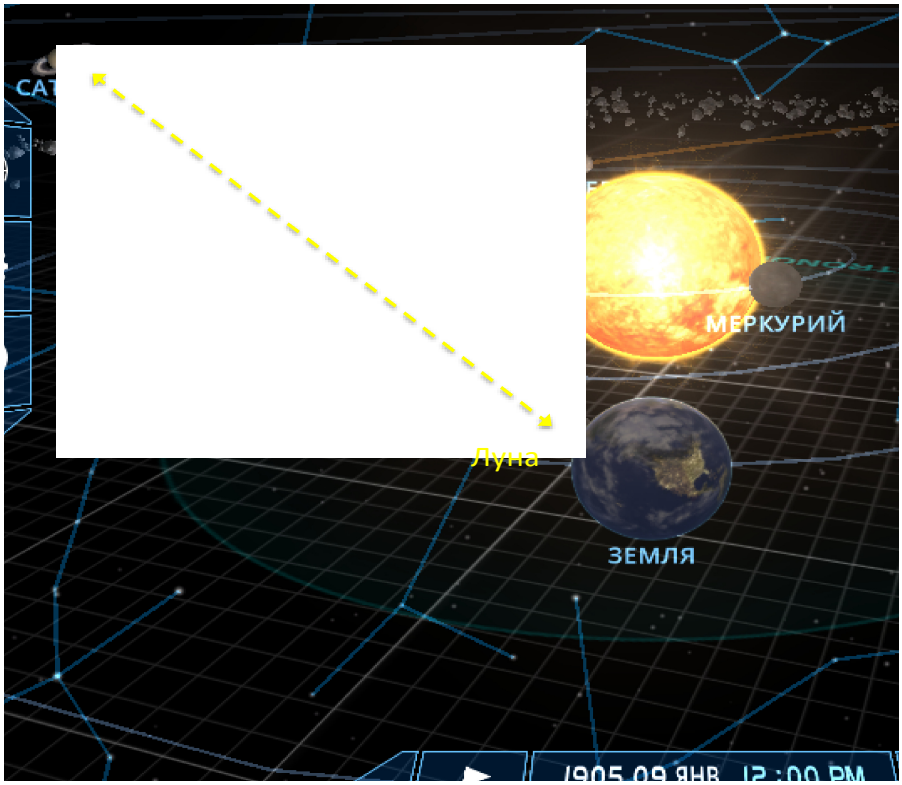


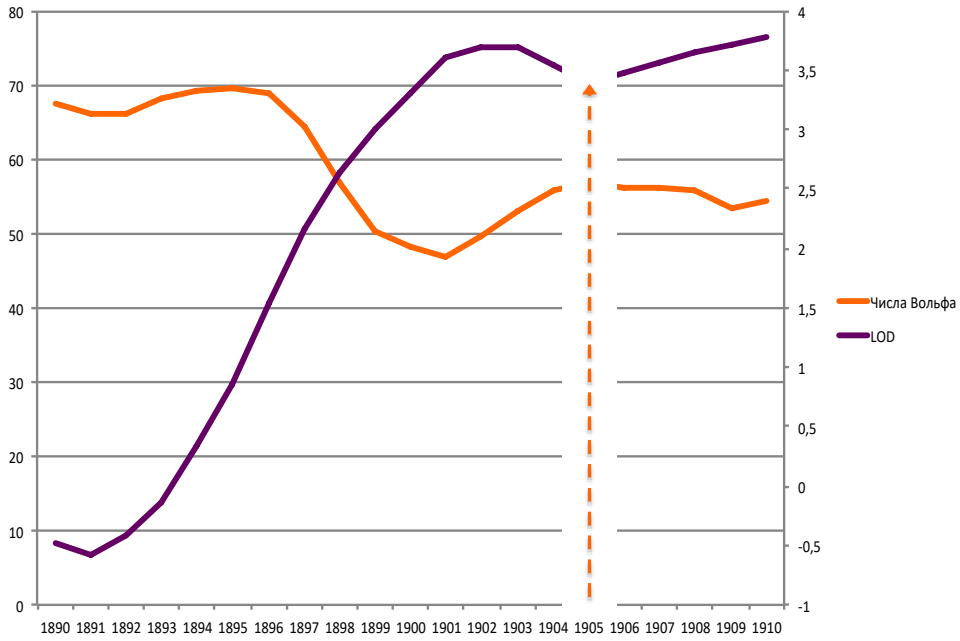
График относительного изменения частот ЭЭГ в точках съема при нахождении Земли на одной линии с другой планетой и одновременно с Солнцем, Юпитером, Сатурном



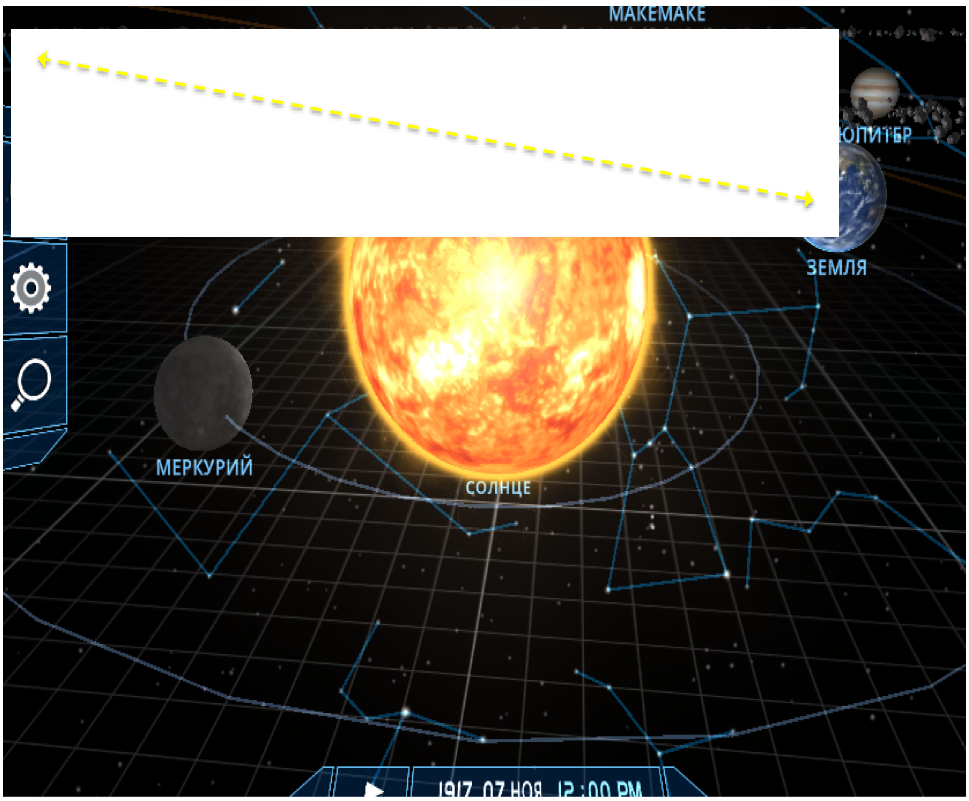
Сизигия Сатурн – Луна –Земля 9 января 1905 года



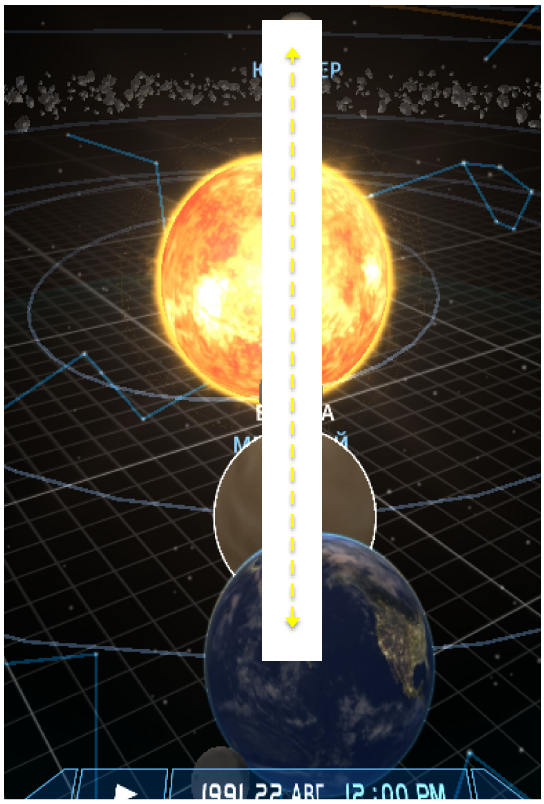
Среднегодовые значения чисел Вольфа, как среднее за 11 лет, и LOD в 1890-1910 годах



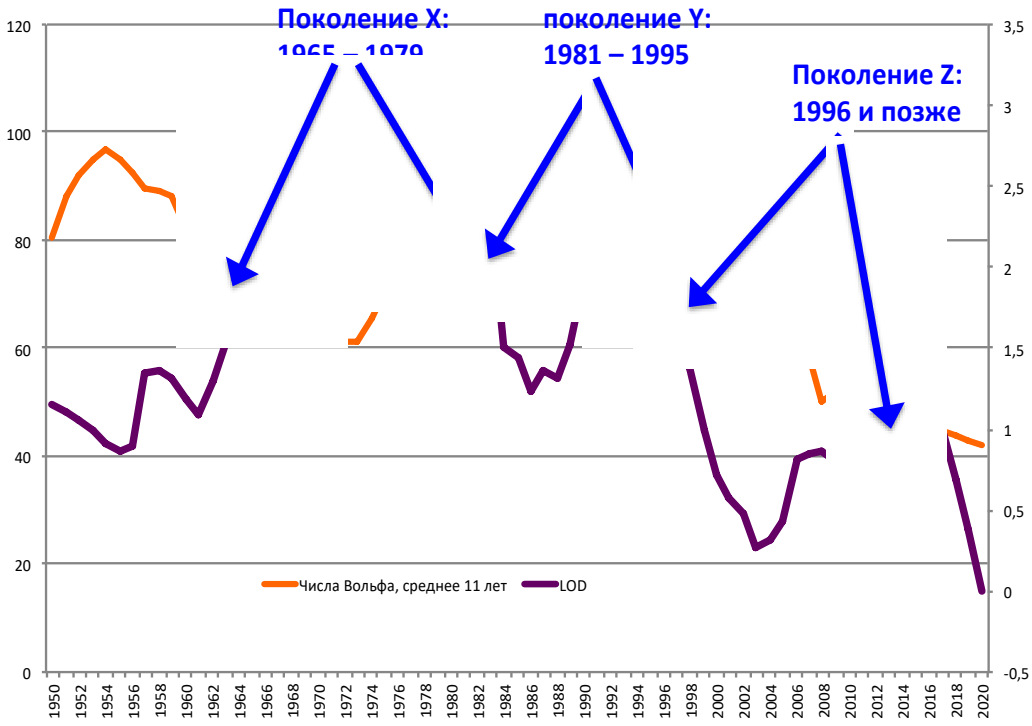
Сизигия Земля – Луна – Сатурн и Земля – Луна – Марс 7 ноября 1917 года



Сизигия Юпитер – Солнце – Меркурий
Венера – Земля 22 августа 1991 года



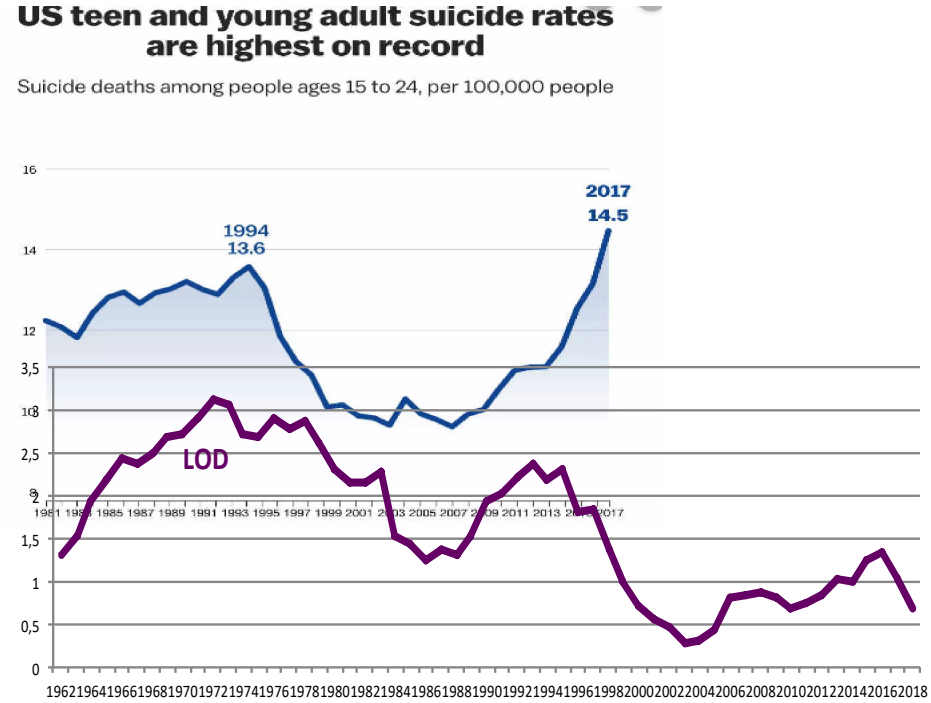
LOD, числа Вольфа, среднее за 11 лет, и и годы рождений поколений в США, существенно отличающихся между собой



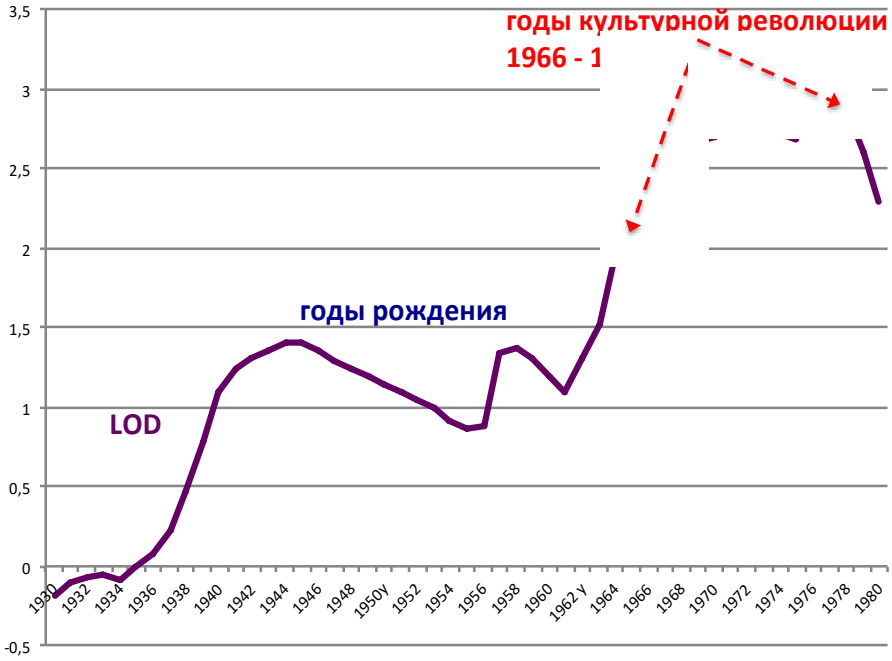
LOD Земли в период культурной революции в Китае



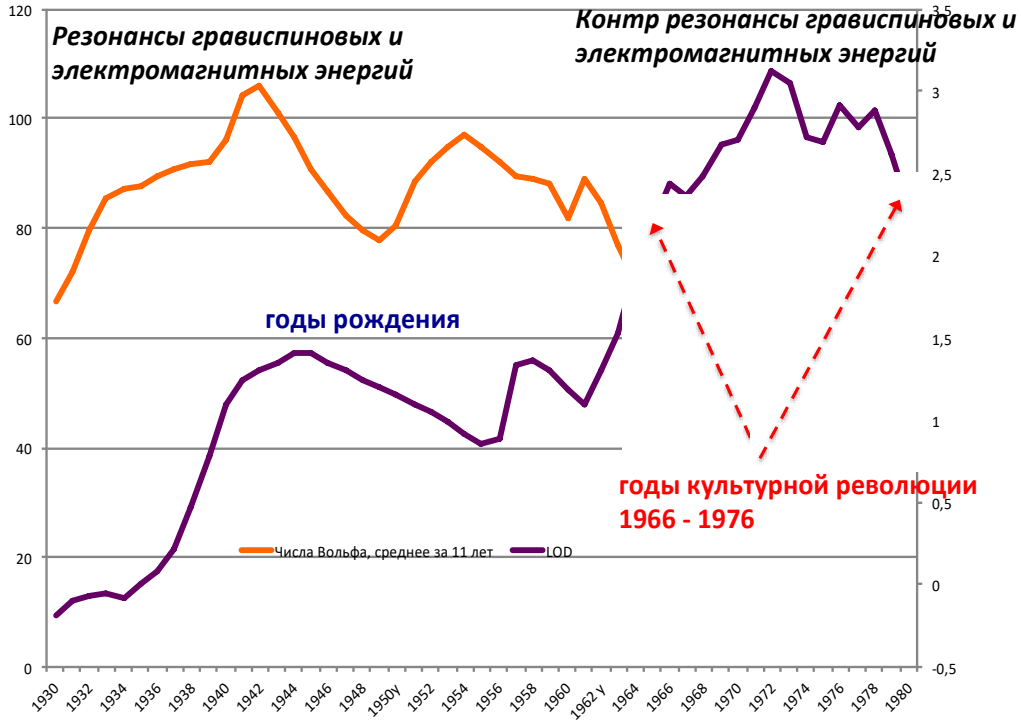
Суициды у лиц с 15 до 24 лет в США с 1981 по 2017 гг., совмещенные с LOD Земли с 1962 по 1998 годы, то есть на момент их рождения и развития в детские, юношеские годы



LOD Земли в период рождения поколения хувейбинов и культурной революции в Китае



LOD Земли и числа Вольфа в период рождения поколения хувейбинов и культурной революции в Китае

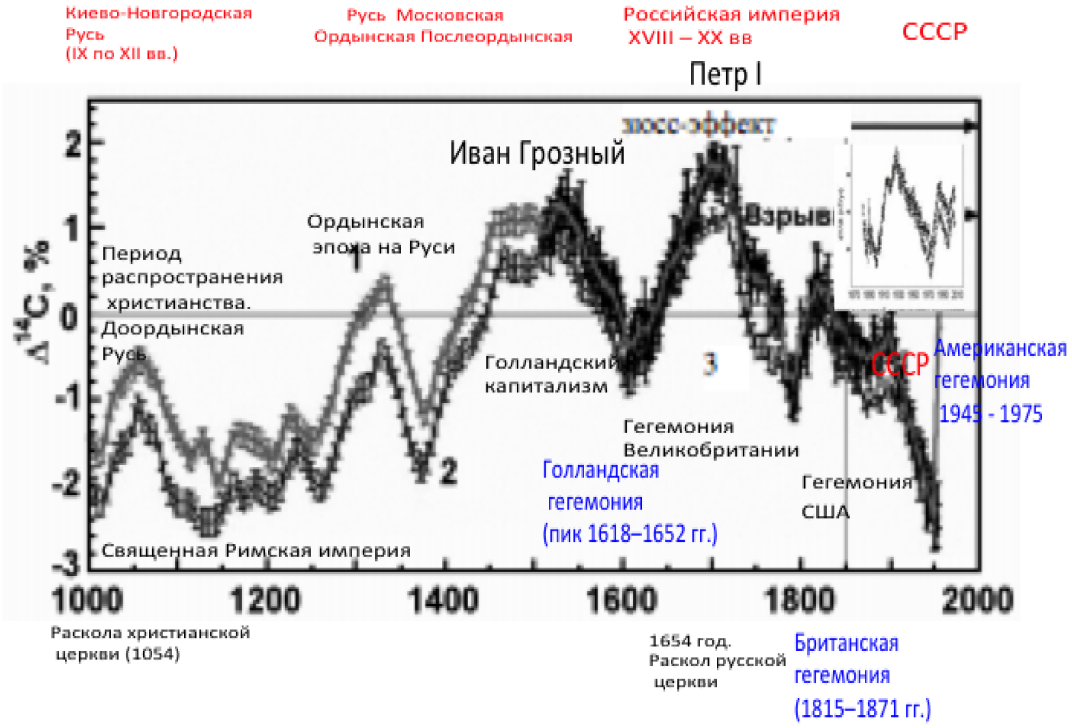


Концентрация изотопов углерода в кольцах деревьев и изменение мироустройства по А. Фурсову



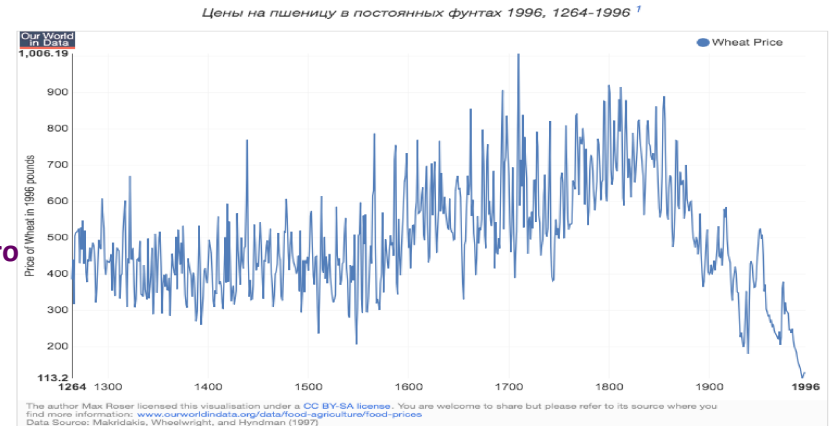
История России в резонансе с космическими энергиями: h" p://www.sc-bemkon.com/

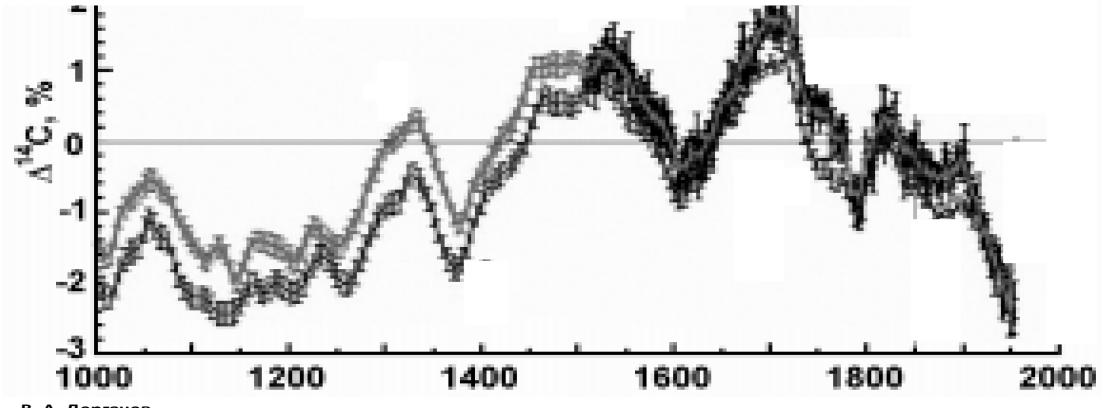
Концентрация изотопов углерода в кольцах деревьев Северного и Южного полушарий и изменение основ государственного устройства в англосаксонской и русской цивилизациях



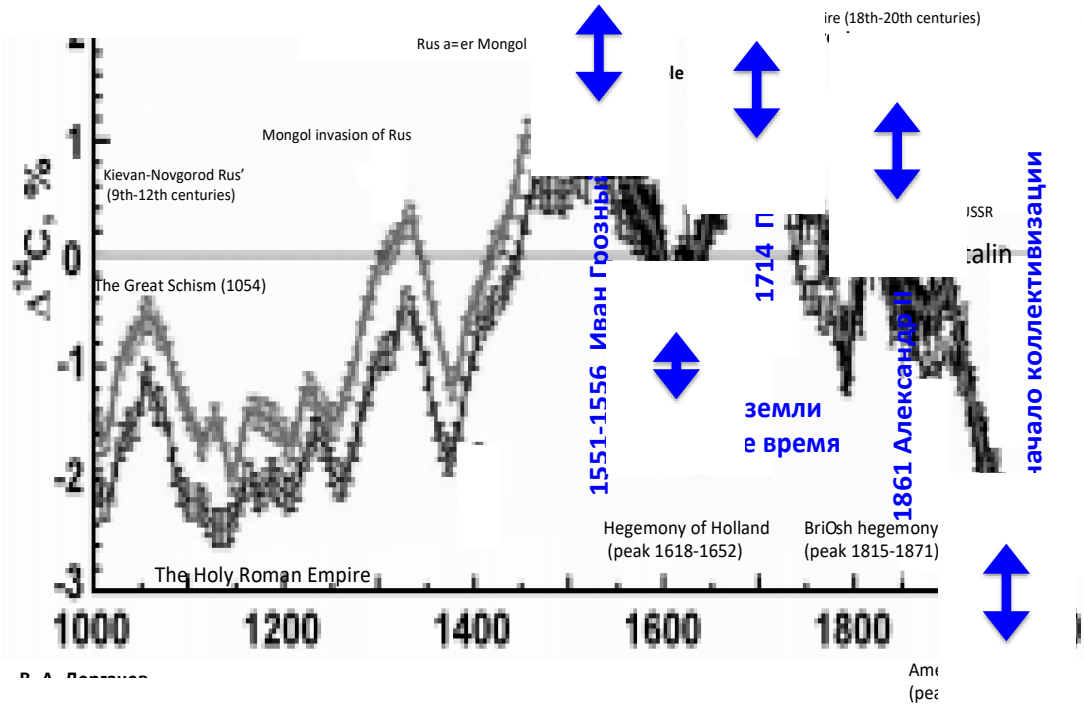
История России в резонансе с космическими энергиями: h" p://www.sc-bemkon.com/

Цены на пшеницу в Европе и содержание изотопов углерода в кольца деревьев северного и южного полушарий





Concentration of the isotopes of carbon contained in annual tree rings in Northern and Southern hemispheres and changes of basis of a political system in Anglo-Saxon and Russian civiliz

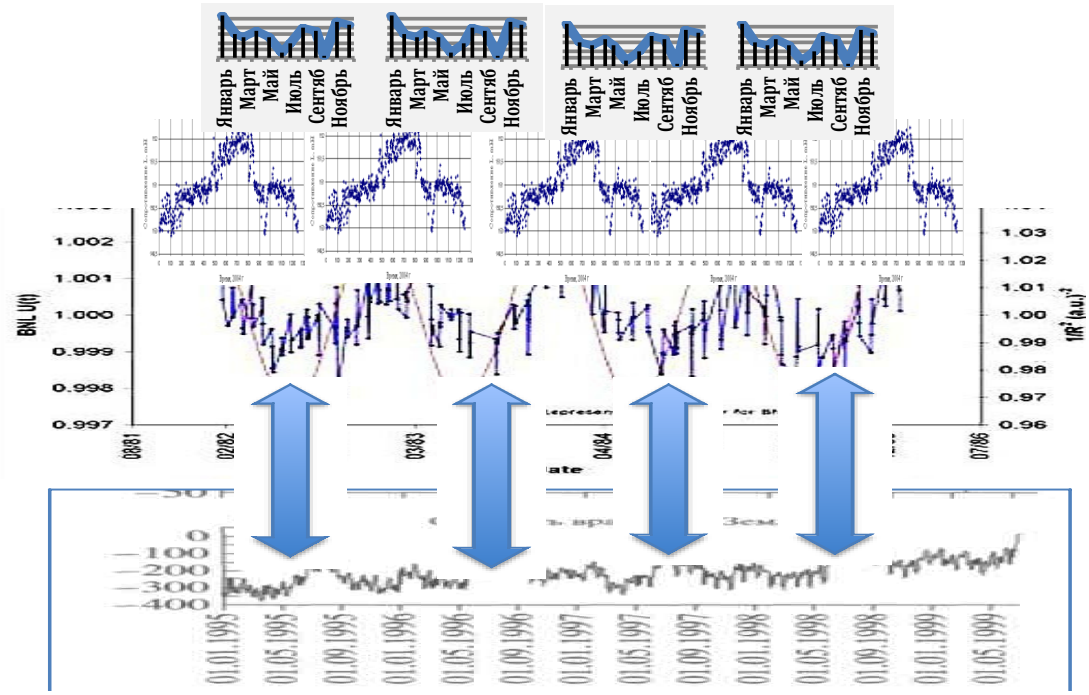


Сравнительный график периода полураспада изотопа кремния ^{32}Si и скорости вращения Земли



См.: Jere H. Jenkins, Ephraim Fischbach, John B. Buncher, John T. Gruenwald, Dennis E. Krauseand JoshuaJ. Mattes, «EvidenceforCorrelationsBetweenNuclearDecayRatesandEarth-SunDistance» (arXiv:0808.3283v1 [astro-ph]).

Сравнительный график условного совмещения годовой динамики распада изотопов кремния, скорости вращения, напряженности магнитного поля и изменения частоты ЭЭГ человека



Научный центр Бэмкон h#p://www.sc-bemkon.com/ bemkon.ru

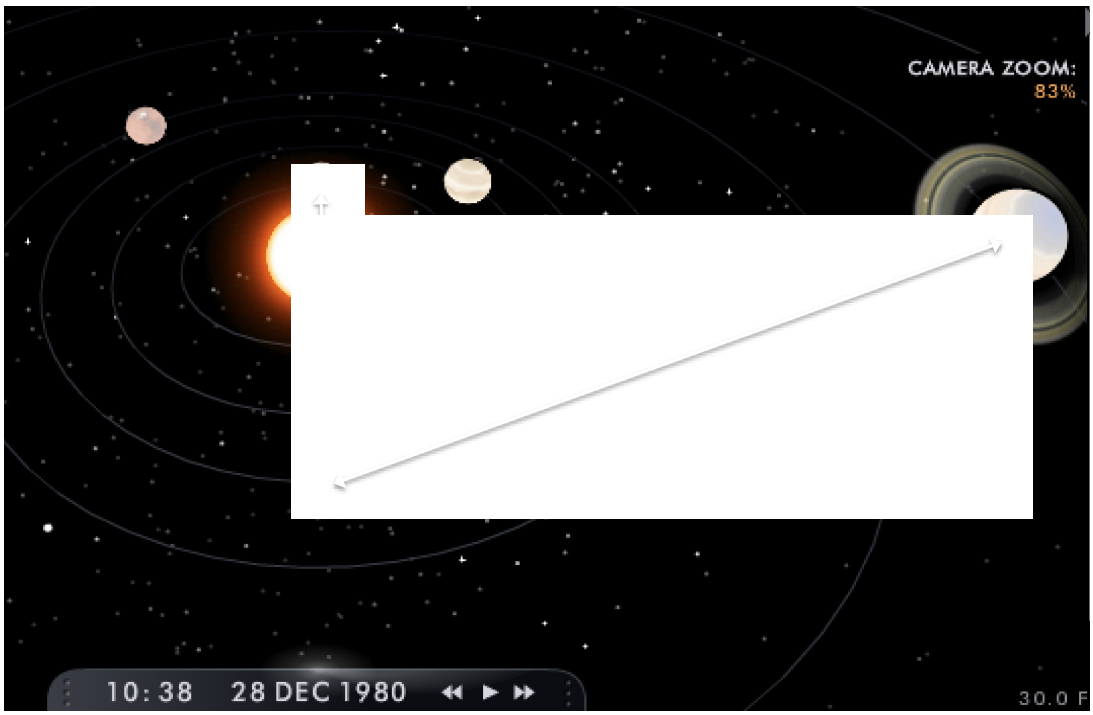
Две гистограммы бета-активности углерода-14 на двух независимых автоматических установках в один и тот же день

из книги С. Шноля



Рис. 26: Два препарата и два счетчика ^{14}C. Опыт 28 декабря 1980 г. Сходство формы гистограмм, построенных по результатам синхронных измерений бета-активности двух препаратов ^{14}C на двух независимых автоматических установках (SL-30 и SL-40). Измерения В. И. Брускова (рис. 17 из [32]). По оси абсцисс — измеренная величина бета-активности (импульсы в минуту). По оси ординат — число измерений с данной величиной активности.

Сизигии планет при эффекте необычных одинаковых гистограмм распада изотопов 28 декабря 1980 года



Две гистограммы бета-активности углерода-14 и скорости реакции АК+ДХФИФ
4 июля 1984 года
из книги С. Шноля

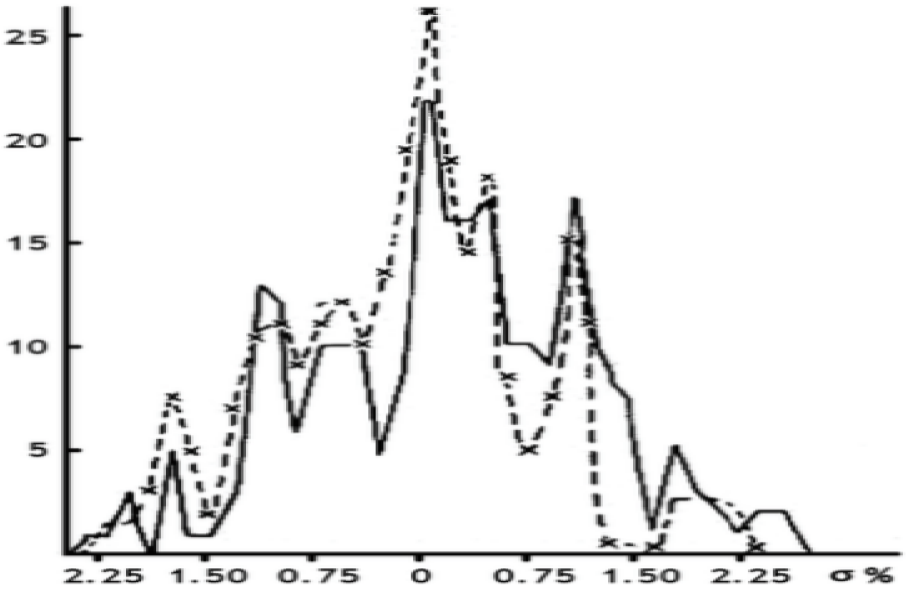
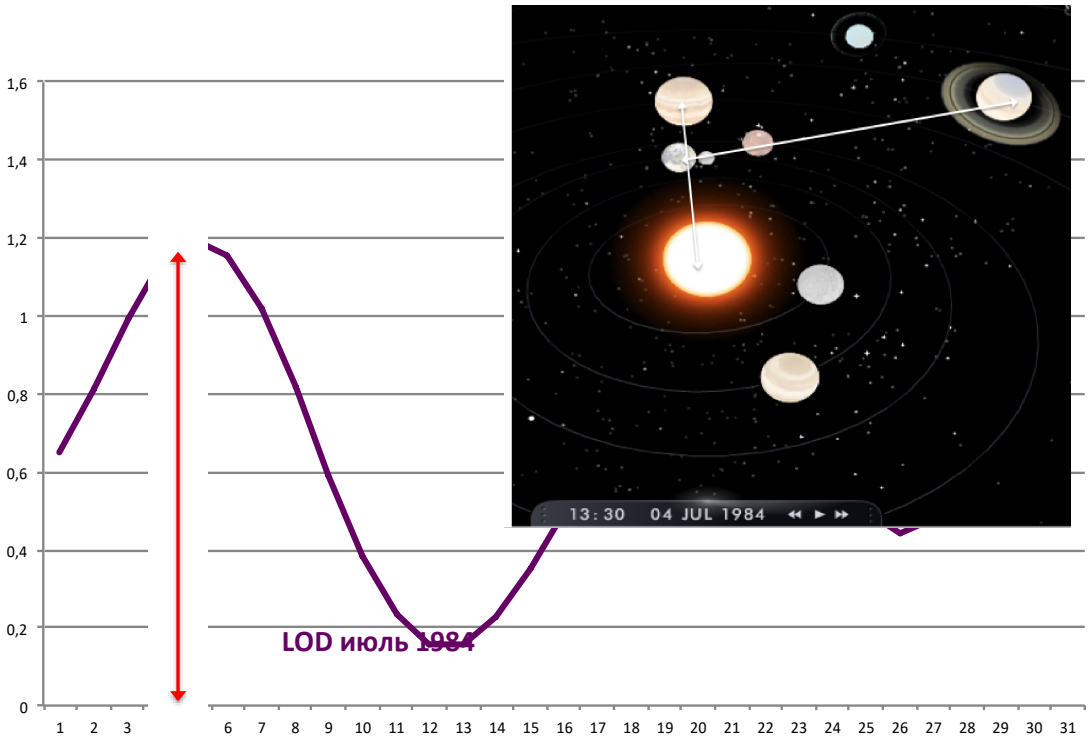
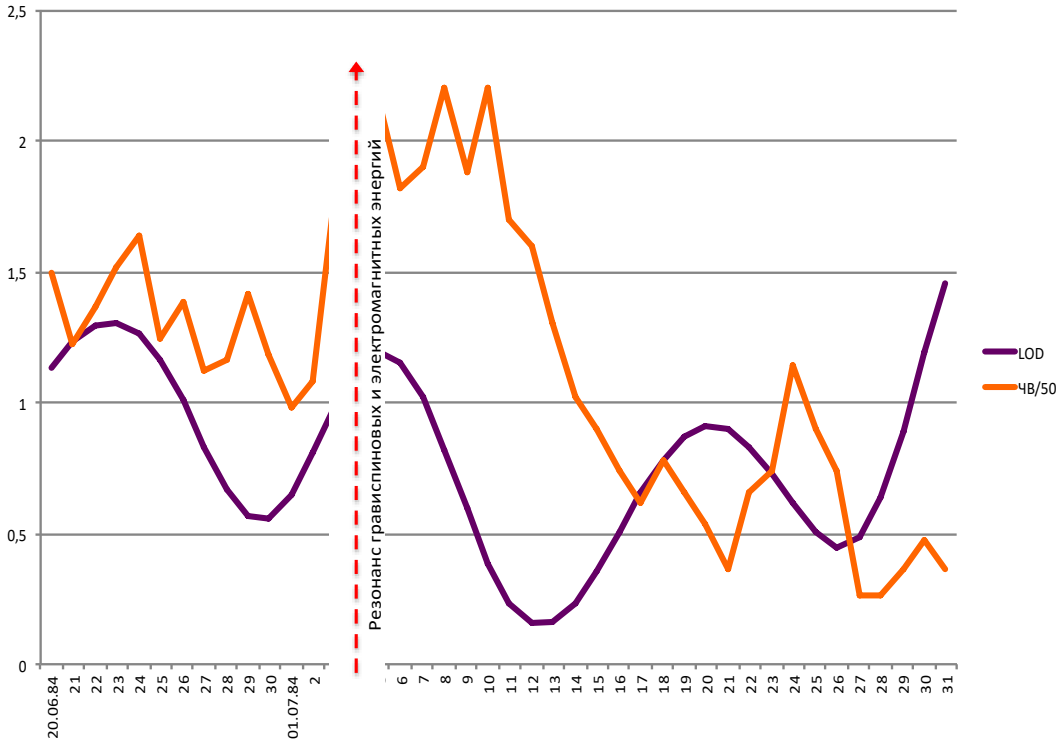


Рис. 32: Форма гистограмм не зависит от природы измеряемого процесса. Измерения бета-активности ^{14}C (В. И. Брусков) и скорости реакции АК + ДХФИФ (С. Э. Шноль, Т. Я. Брицина и Н. П. Иванова). Опыт 4 июля 1984 г. Ось абсцисс для обоих процессов — в долях среднеквадратичного отклонения (σ), рис. 19 из [32].

LOD Земли в июле 1984 года и расположение планет, Луны
4 июля 1984 года



LOD Земли и солнечная активность (ЧВ/50) с 20 июня по 31 июля 1984 года



LOD Земли и изменение силы тяжести по наблюдениям на сверхпроводящем гравиметре в Страсбурге (Франция) в 1997-2017 годах

